

# 为什么需要超快时间分辨测量

- 很多原子分子中发生的过程在飞秒和皮秒量级
- 虽然荧光寿命在纳秒量级，非辐射弛豫过程可能要快得多

$$1/t_{\text{ex}} = 1/t_{\text{fl}} + 1/t_{\text{nr}}$$

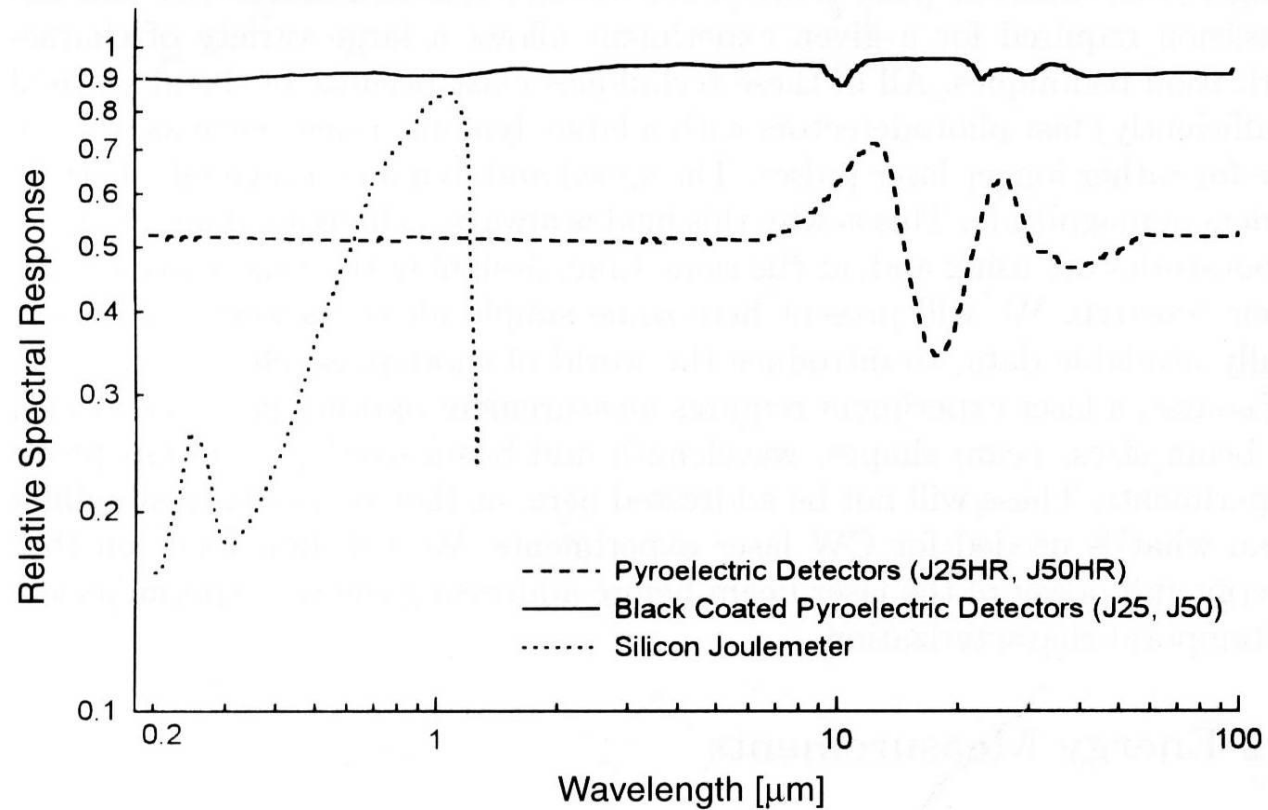
- 生物中很多重要的过程利用的是激发能，这些过程比荧光要快很多
- 室温下液体中的碰撞过程发生在几飞秒的量级，因此大多数液体中的过程都是超快的
- 半导体中很多我们感兴趣的过程是超快的

# 第十二章 飞秒激光光谱技术

## 12.1 激光脉冲的测量

## 12.2 飞秒分辨光谱技术

## 12.1.1 能量和功率的测量

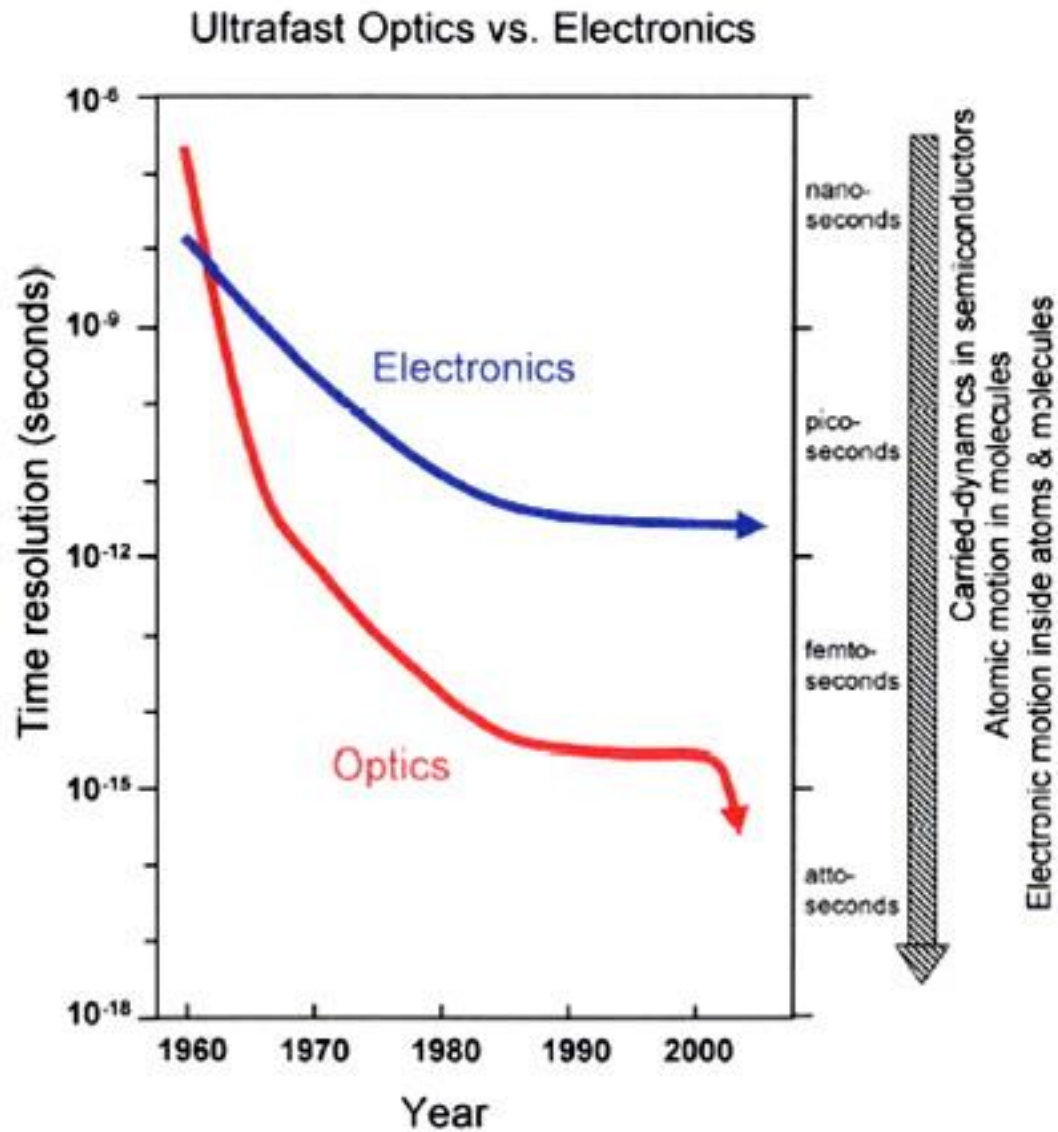


热电探测器和硅探测器的频谱响应

## 功率计的参数（Model 407A, Spectra-Physics）

Wavelength range	250 nm–11 $\mu$ m
Power range	
Continuous	< 5 mW to 20 W
Intermittent	up to 30 W
Maximum power density	20 kW/cm <sup>2</sup>
Peak pulsed energy density (in 50 ns pulses)	300 mJ/cm <sup>2</sup>
Sensitivity variation	$\pm 1\%$ , 400–1000 nm $\pm 3\%$ , 250 nm–11 $\mu$ m
Detector spatial sensitivity variation (2 mm beam)	$\pm 2.5\%$
Meter time constant	< 0.5 s, 1 W scale or higher < 1 s, 30 mW scale

## 12.1.2 脉冲形状的测量

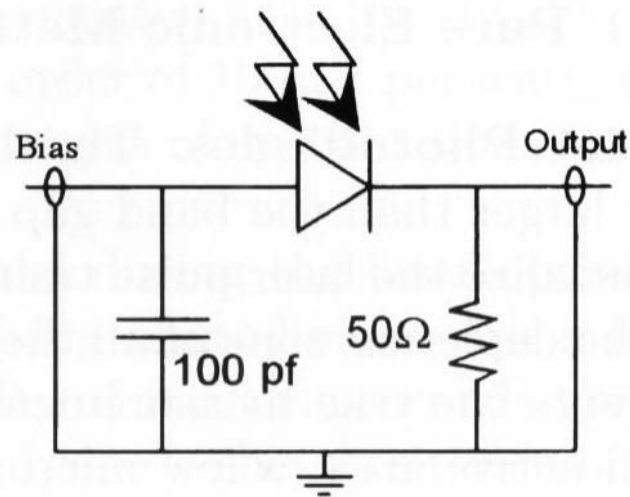
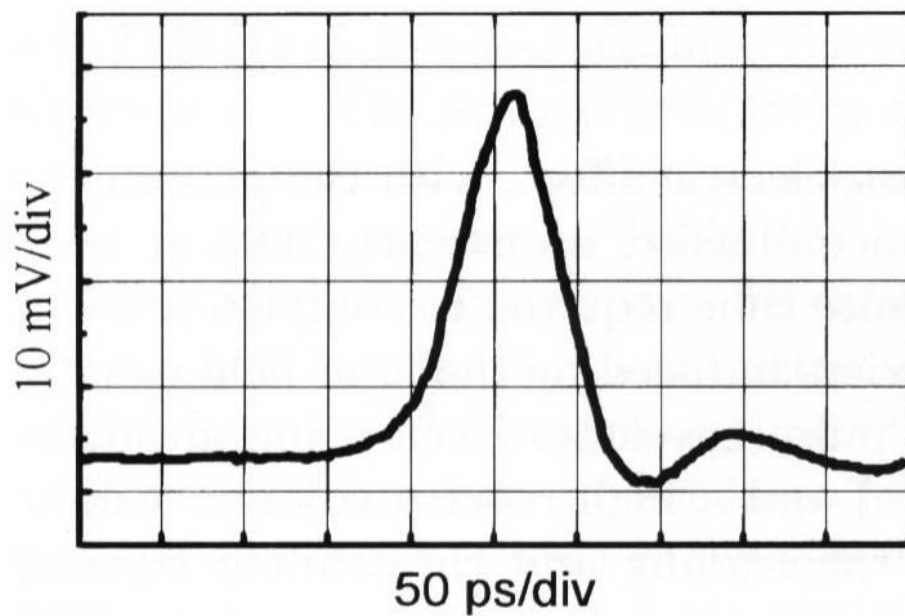


# 一. 纯电学方法

## a. 光电二极管

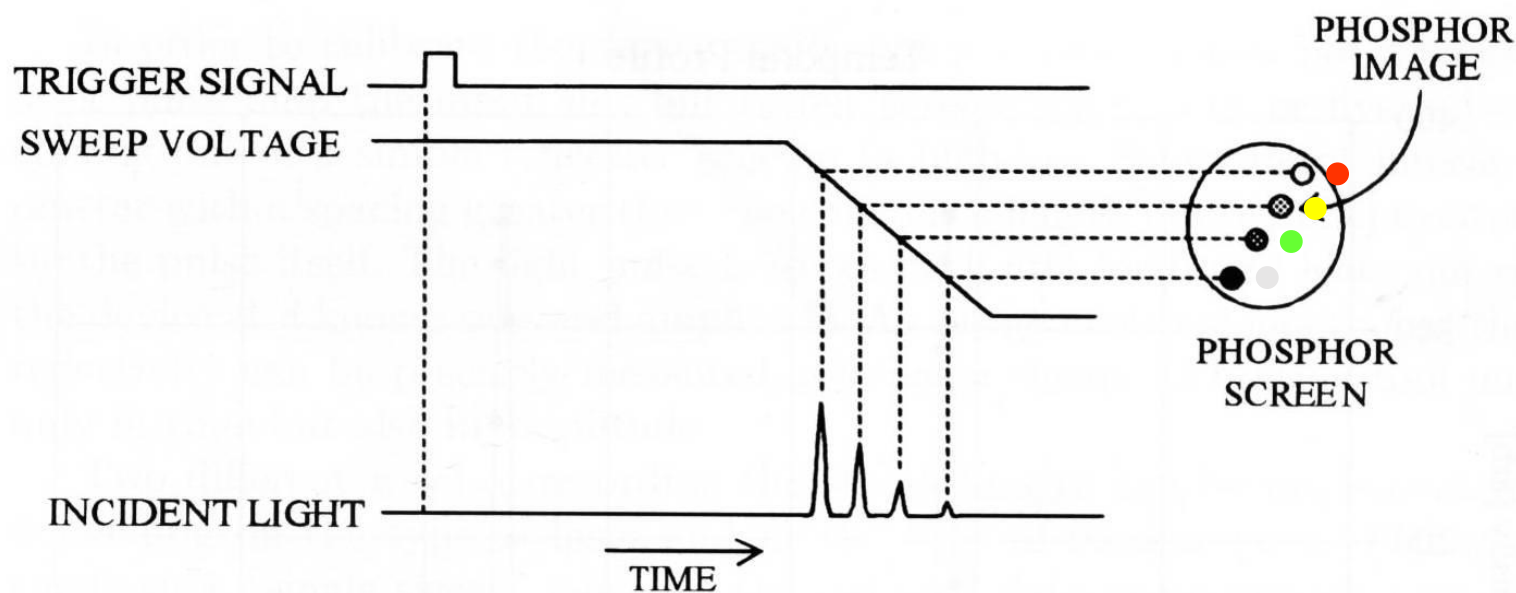
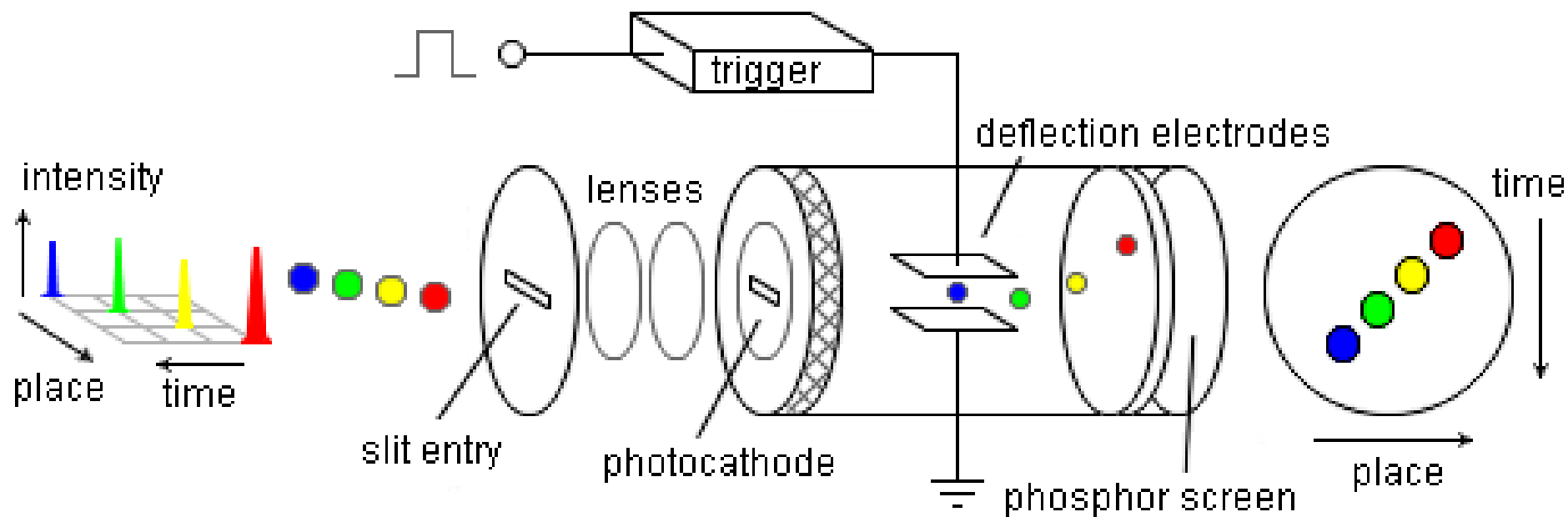
Model (Si PIN)	Rise time [ps]	FWHM pulse response [ps]	−3dB Bandwith [GHz]	Responsivity [V/W]	Responsivity (in terms of density) [V/(W/mm <sup>2</sup> )]
AR-S1	< 100	< 180	> 3.5	16	4
AR-S2	< 35	< 65	> 10	5	0.018
AR-S3	< 25	< 45	> 14	3.75	0.014

一些光电二极管的数据



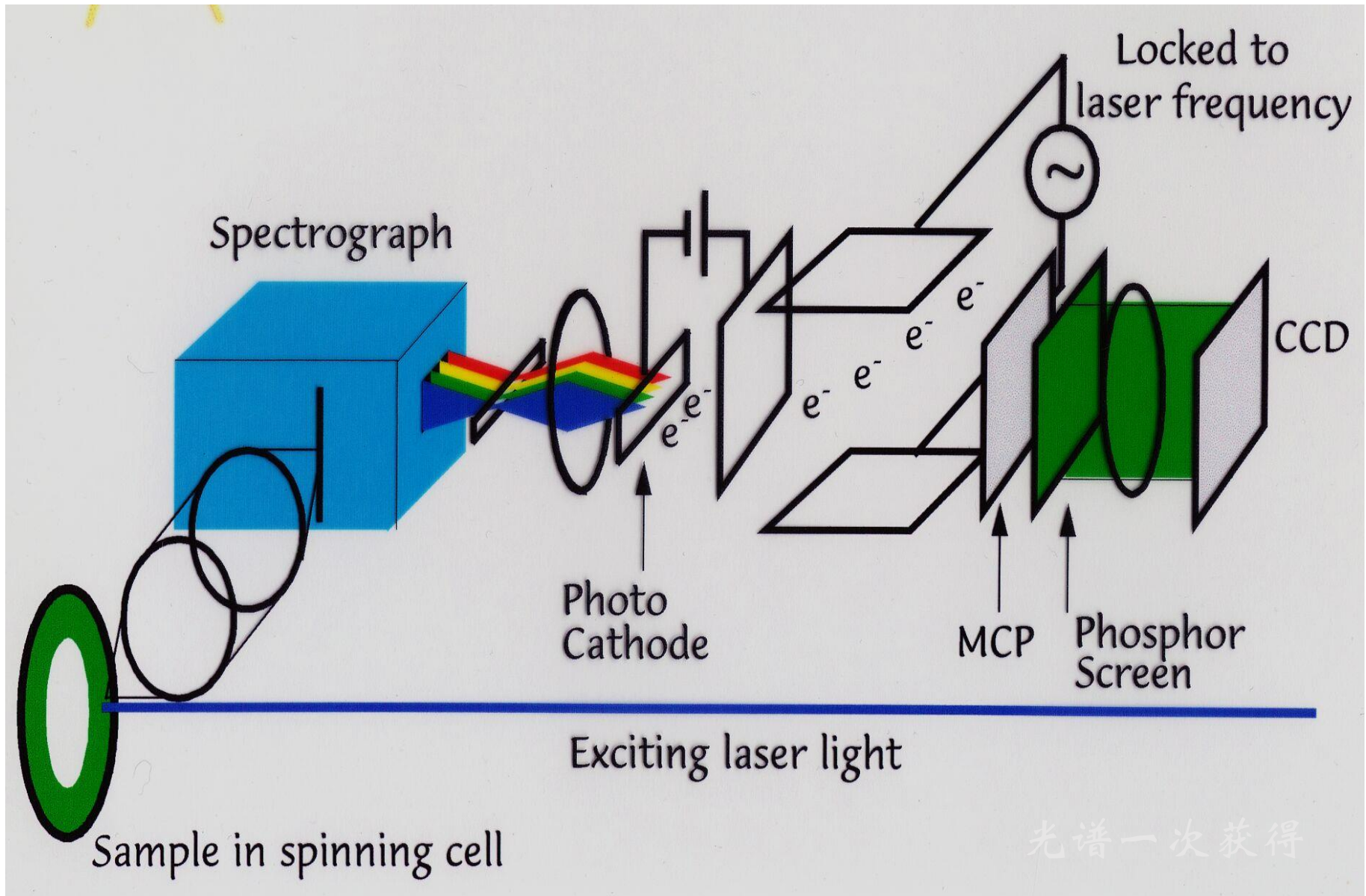
利用光电二极管测量飞秒脉冲得到的信号和电路

## b. 条纹相机



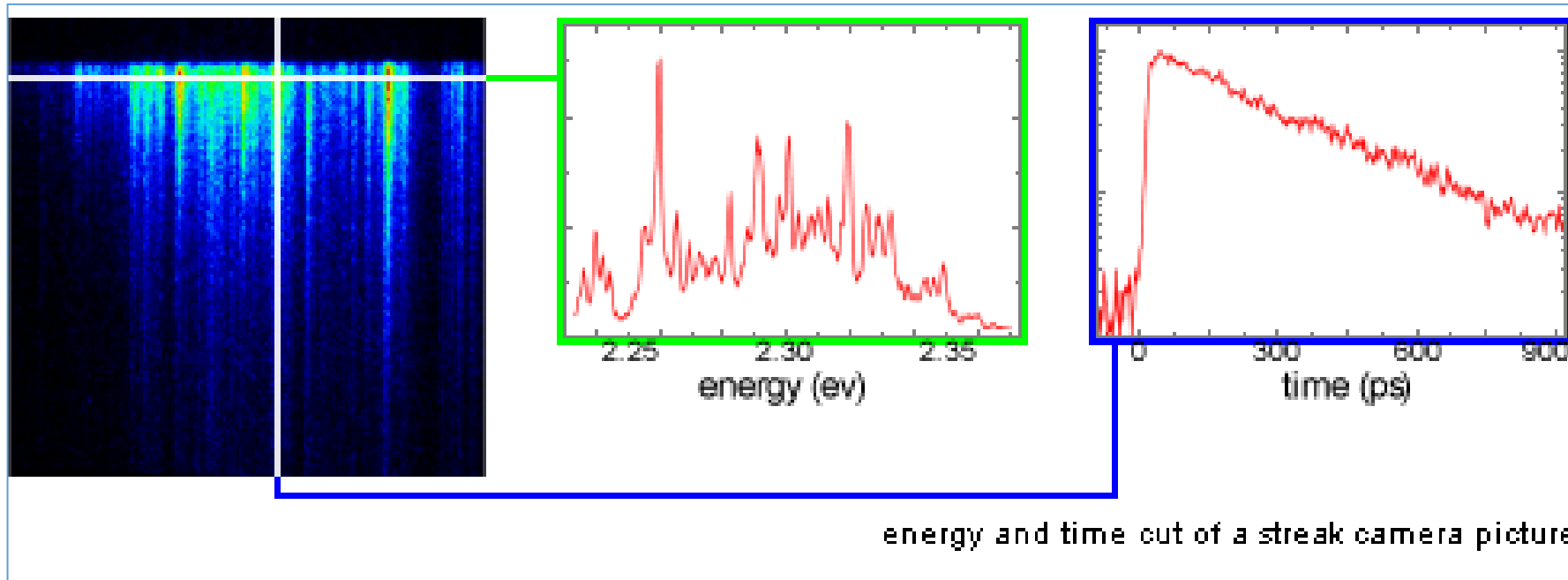


# 利用条纹相机测量荧光光谱



$\lambda$ 

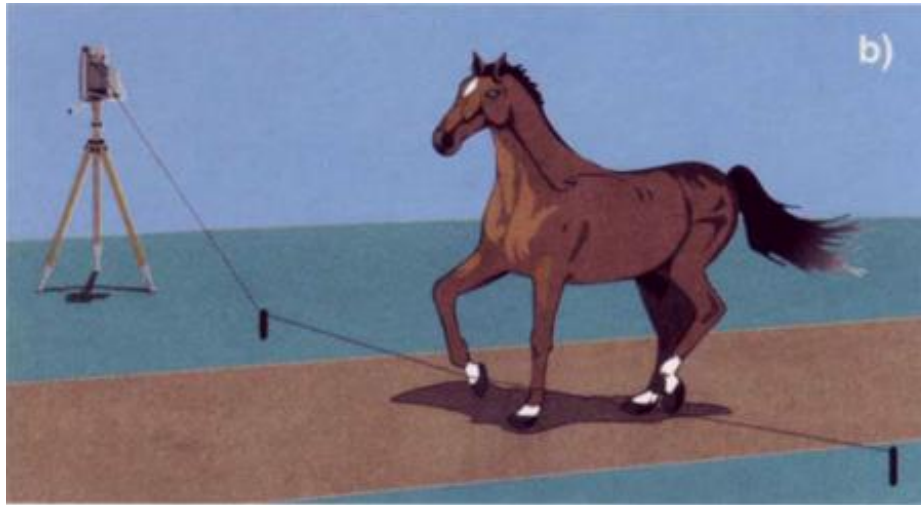
t



条纹相机的输出

# 时间分辨测量的两种方式

## 1. 连续光源 + 时间分辨的记录系统



时间分辨率由记录系统决定

## 2. 脉冲光源 + 无时间分辨的记录系统



过程： 1. 触发： 声或扳机  
2. 延时： 控制测量时刻  
3. 测量： 曝光

时间分辨率： 源的脉冲宽度 + 触发、延时系统精度  
连续测量需要过程可重复

为了在时间上测量一个事件，  
你需要一个更短的时间尺子



为了研究这样一个事件，  
需要一个更短的闪光灯脉冲



Photograph taken by Harold Edgerton, MIT

但是，为了测量闪光灯的脉冲，需要一个响应时间更短的探测器

等等... ..

于是，如何测量最短的事件？

## 二、全光学方法

两个关键：

- 相关函数，  $G(\tau) = \int_{-\infty}^{+\infty} F'(t)F(t-\tau)dt$

如果 $G(\tau)$ 和 $F'(t)$ 已知，则可以求出 $F(t)$

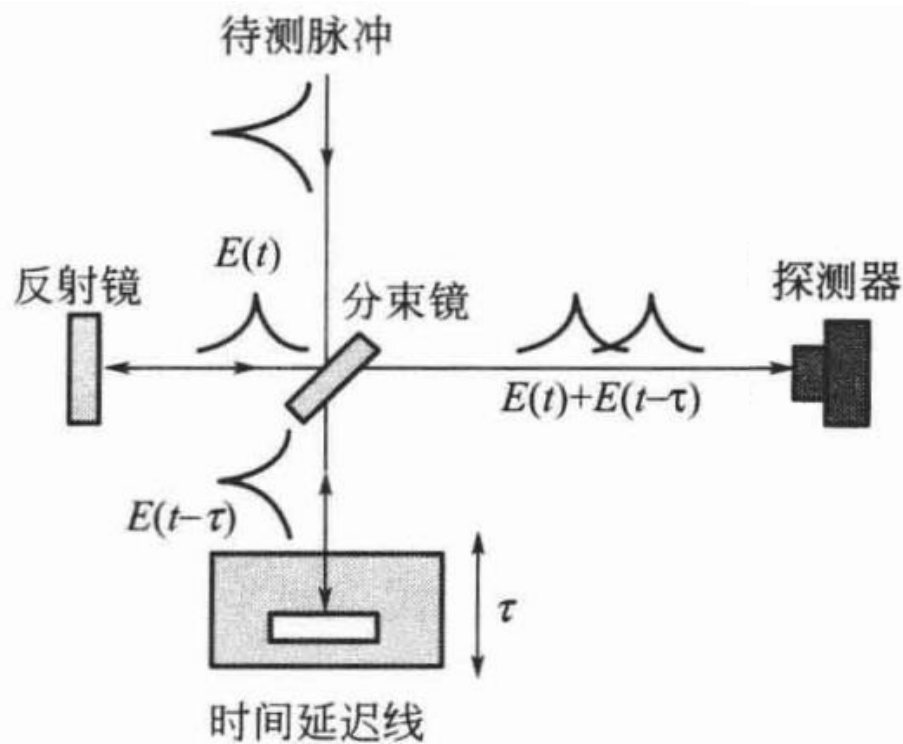
- 时间—空间转换，  $1\text{ps} \leftrightarrow 300\mu\text{m}$ ;

自相关：  $G_1(\tau) = \int_{-\infty}^{+\infty} F(t)F(t-\tau)dt$

$$G_2(\tau) = \int_{-\infty}^{+\infty} [F(t)F(t-\tau)]^2 dt \quad G_3(\tau) = \int_{-\infty}^{+\infty} [F(t)F(t-\tau)]^3 dt \quad \dots\dots$$



未知脉冲本身作为测试函数，称为“**自相关函数**”  
(autocorrelation functions)。

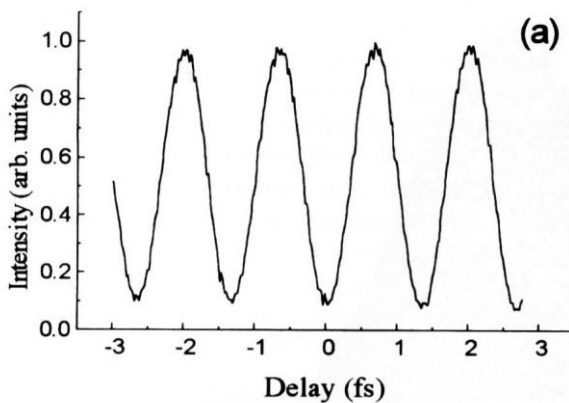
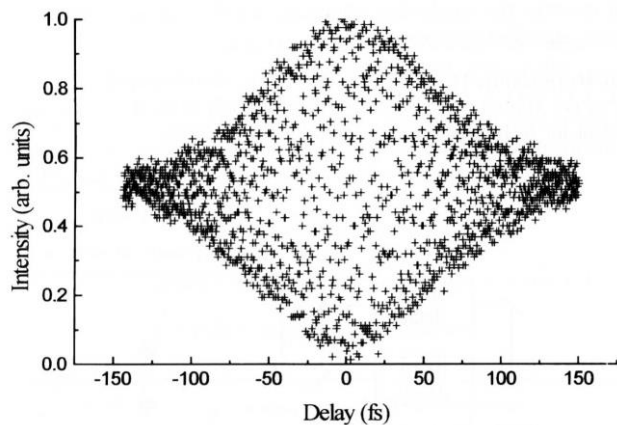


干涉仪自相关器的基本原理

光电场:  $E_1(t, \tau) = E(t) + E(t - \tau)$        $\tau \ll$  探测器的响应时间

$$I_1(\tau) = \int_{-\infty}^{\infty} [E^2(t) + E^2(t - \tau) + 2|E(t)E(t - \tau)|] dt$$
$$= 2 \int I(t) dt + 2G(\tau)$$

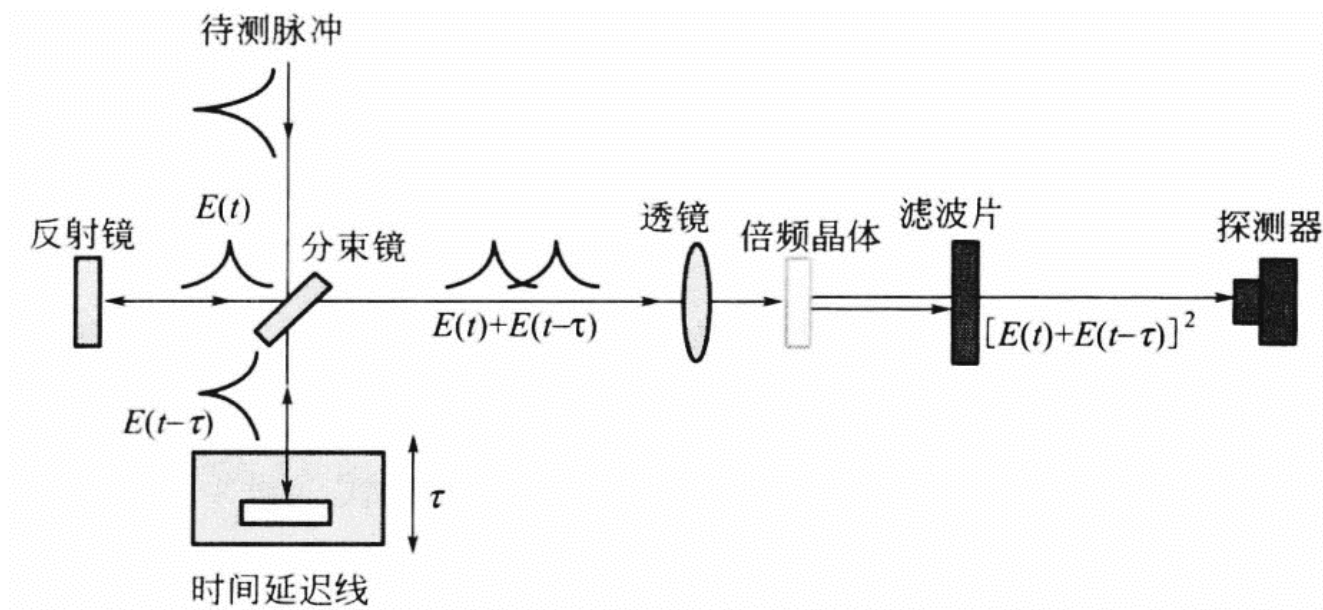
$$I_1(\tau = 0) = 4 \int I(t) dt \qquad I_1(\tau \rightarrow \infty) = 2 \int I(t) dt$$



一阶自相关给出的是相干长度的信息

800nm、100fs脉冲的一阶相关





二阶自相关器示意图

$$I_2(\tau) = \int_{-\infty}^{+\infty} |\mathbf{E}(t) + \mathbf{E}(t - \tau)|^2 dt$$

二阶非线性  
过程

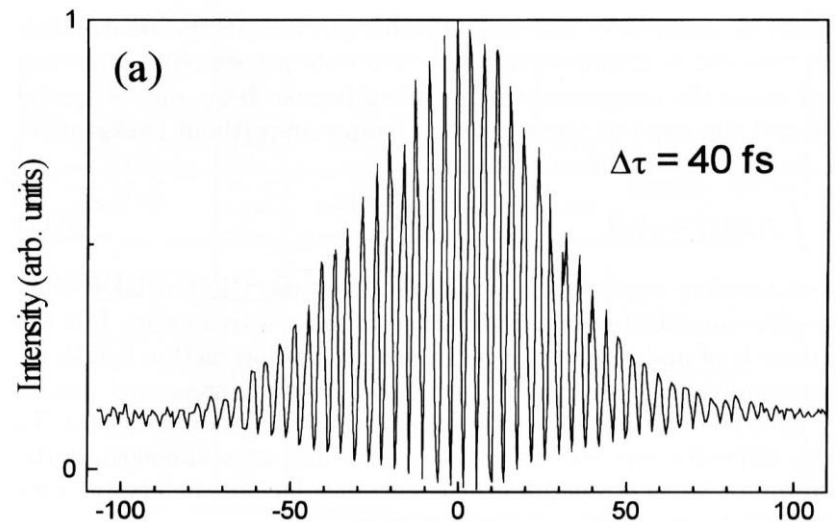
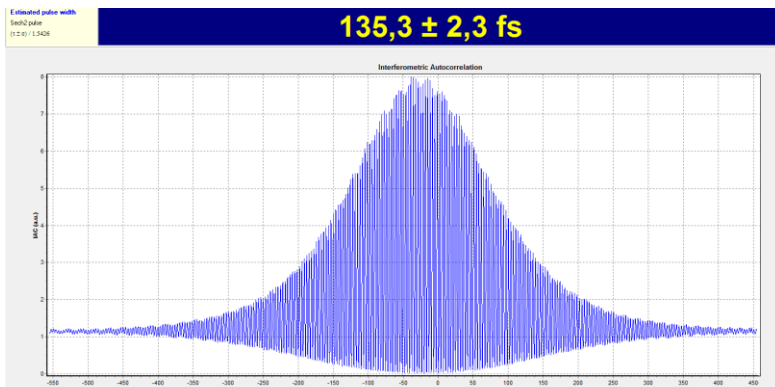
$$I_2(\tau) = \int_{-\infty}^{+\infty} \left| \{E(t) \exp i[\omega t + \Phi(t)] + E(t - \tau) \exp i[\omega(t - \tau) + \Phi(t - \tau)]\}^2 \right|^2 dt$$

展开并对 $e^{i\omega t}$ 求模:

$$I_2(\tau) = \int_{-\infty}^{+\infty} | 2E^4 + 4E^2(t)E^2(t - \tau) + 4E(t)E(t - \tau)[E^2(t) + E^2(t - \tau)] \cdot \cos[\omega\tau + \Phi(t) - \Phi(t - \tau)] + 2E^2(t)E^2(t - \tau) \cos\{2[\omega\tau + \Phi(t) - \Phi(t - \tau)]\} | dt$$

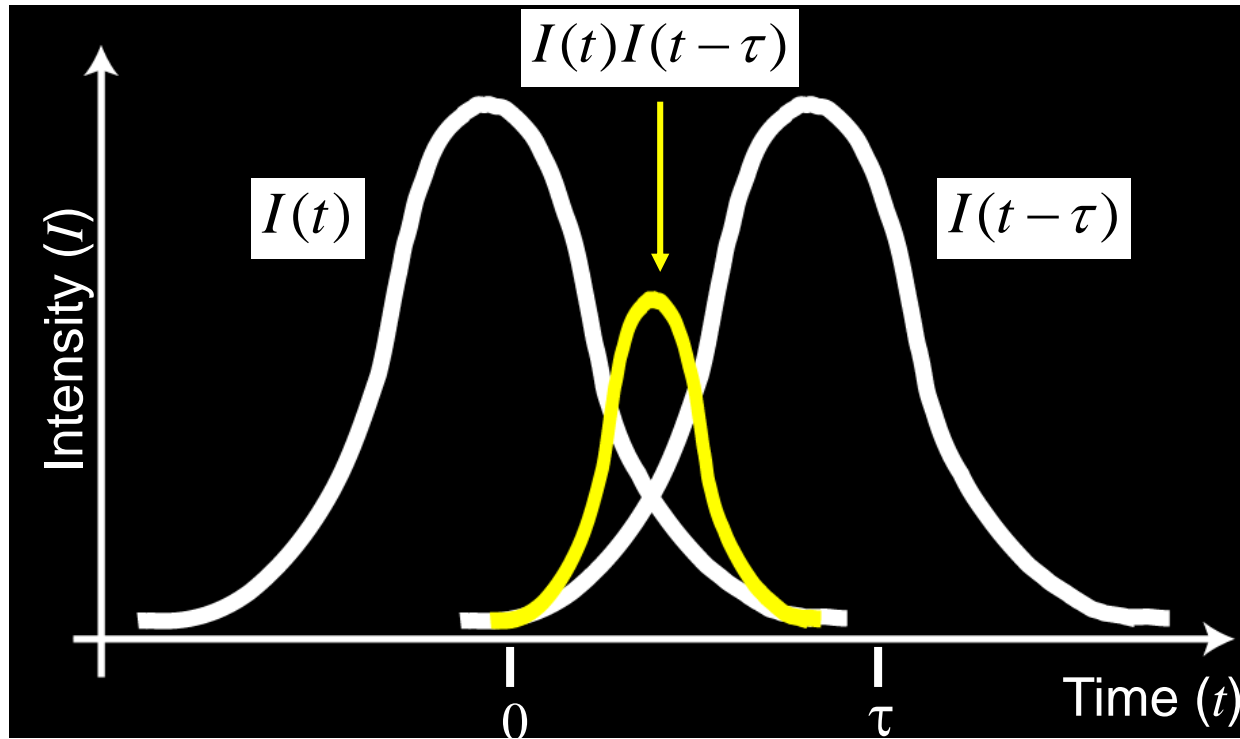
$$I_2(\tau = 0) = 2^4 \int E^4(t) dt$$

$$I_2(\tau \rightarrow \infty) = 2 \int E^4(t) dt$$



二阶自相关:

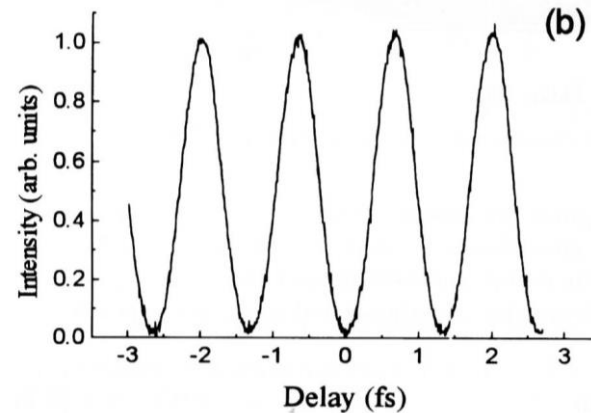
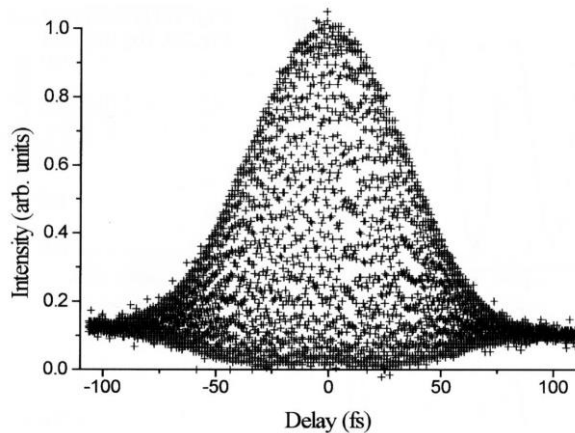
$$G_2(\tau) = \frac{\int I(t)I(t-\tau)dt}{\left| \int I^2 dt \right|}$$



改变两个脉冲间的延时，在两个脉冲重叠处二阶相关不为零

二阶自相关：能给出脉冲重叠的信息，无论两个脉冲是否相干

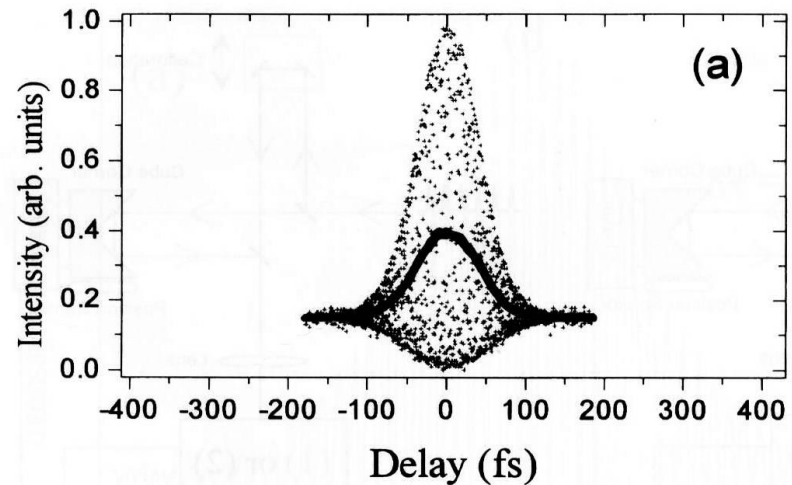
$$I_2(\tau) = \int_{-\infty}^{+\infty} | 2E^4 + 4E^2(t)E^2(t-\tau) + \underline{4E(t)E(t-\tau)[E^2(t) + E^2(t-\tau)] \cdot \cos[\omega\tau + \Phi(t) - \Phi(t-\tau)] + 2E^2(t)E^2(t-\tau)\cos\{2[\omega\tau + \Phi(t) - \Phi(t-\tau)]\}} | dt$$

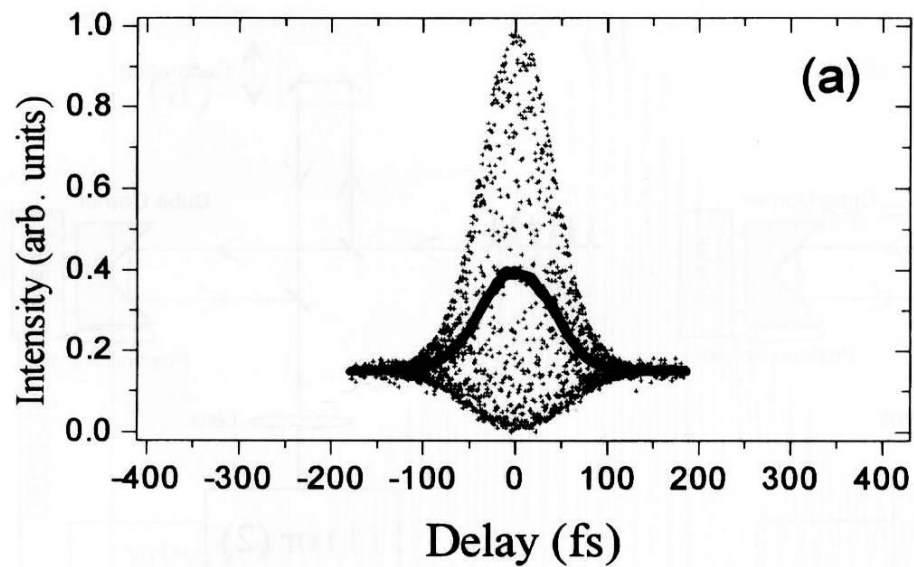


强度相关:

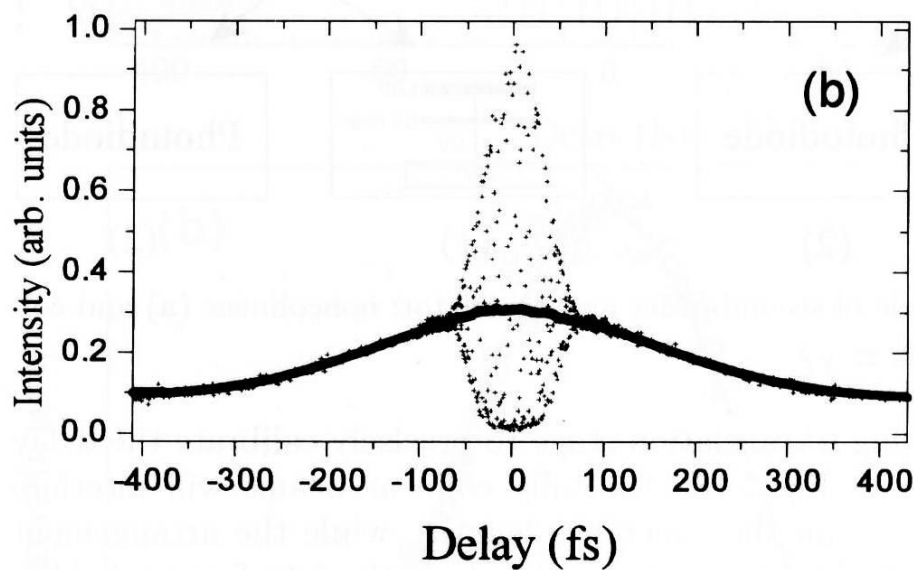
$$S_1 = 2 \int I^2 dt + 4 \int I(t)I(t-\tau) dt$$

对比度为3:1





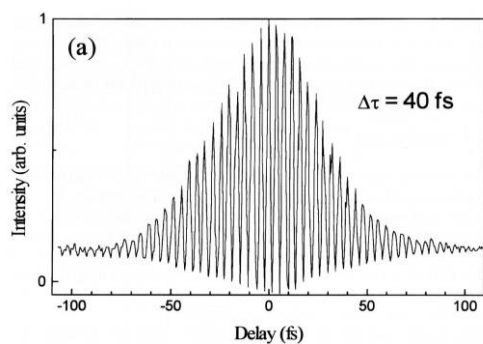
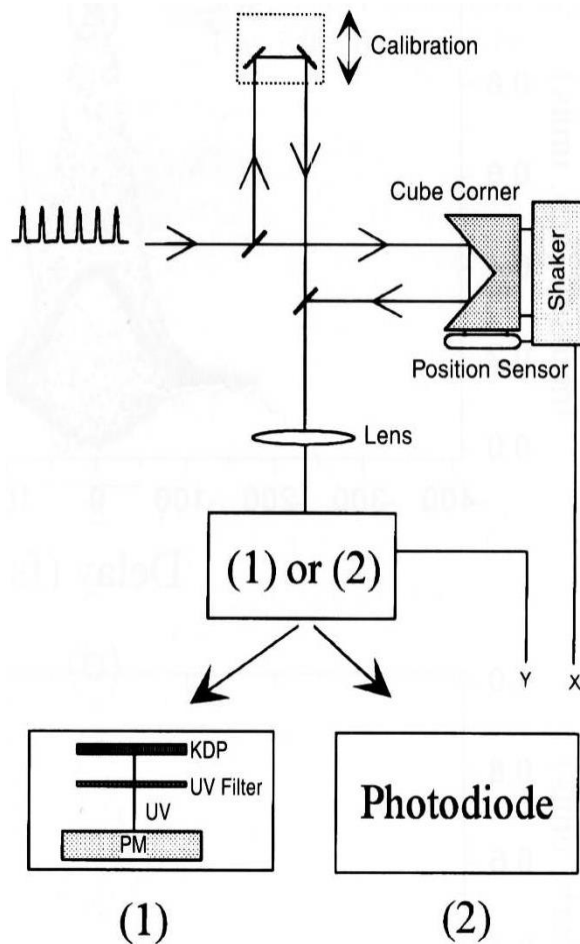
原始脉冲



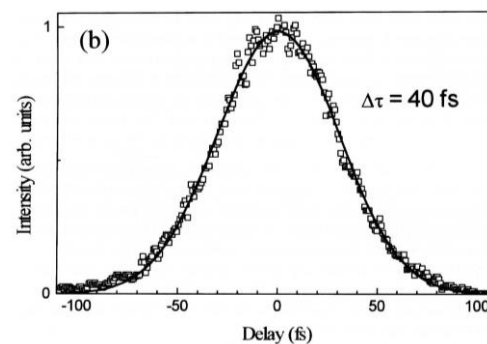
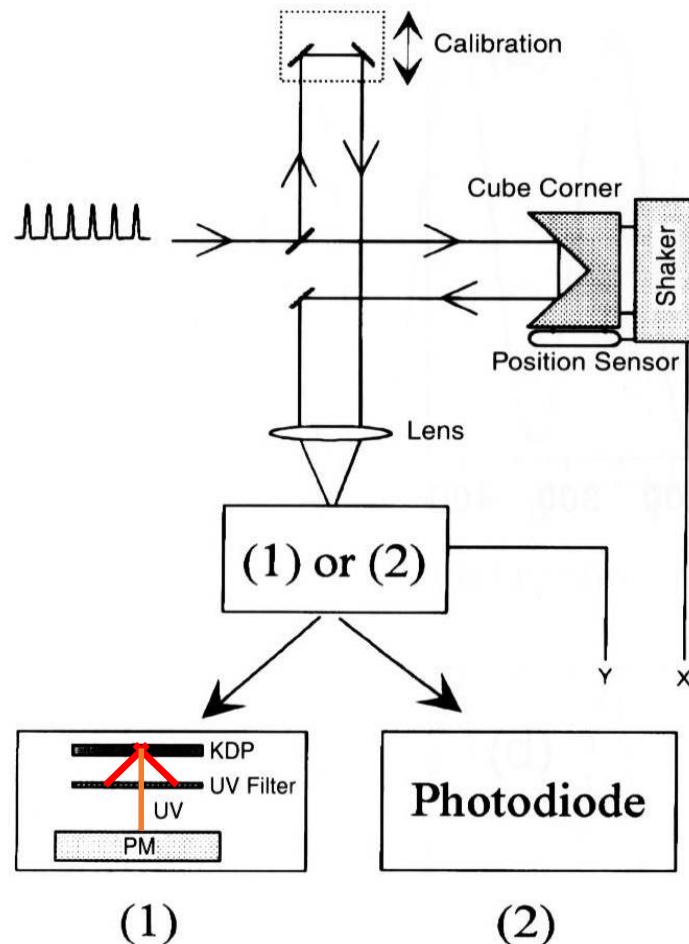
经过5cm厚玻璃板  
展宽后的脉冲

强度（实线）和干涉（点）相关轨迹

共线



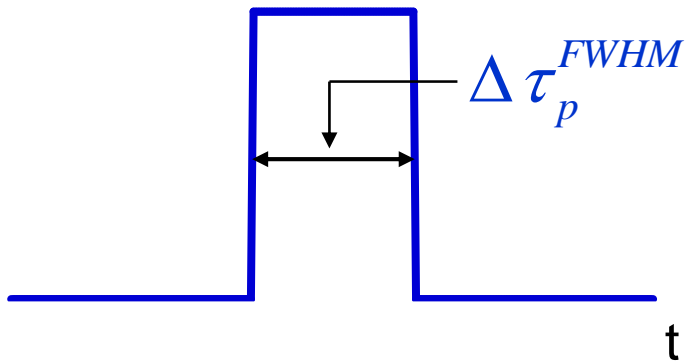
非共线



# 方形脉冲和它的自相关

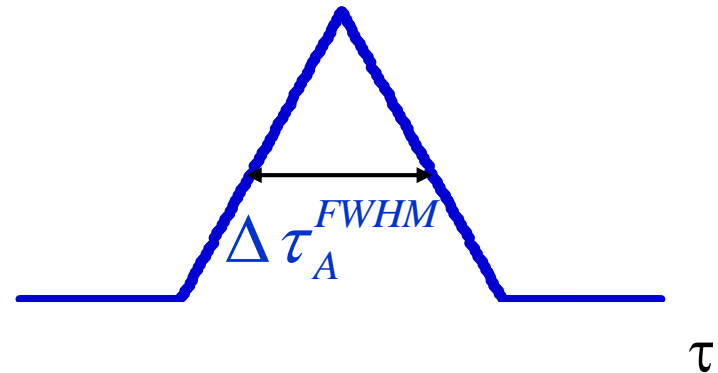
Pulse

$$I(t) = \begin{cases} 1; & |t| \leq \Delta\tau_p^{FWHM}/2 \\ 0; & |t| > \Delta\tau_p^{FWHM}/2 \end{cases}$$



Autocorrelation

$$G^{(2)}(\tau) = \begin{cases} 1 - \left| \frac{\tau}{\Delta\tau_A^{FWHM}} \right|; & |\tau| \leq \Delta\tau_A^{FWHM} \\ 0; & |\tau| > \Delta\tau_A^{FWHM} \end{cases}$$



$$\Delta\tau_p^{FWHM} = \Delta\tau_A^{FWHM}$$

脉冲半宽



强度相关半宽

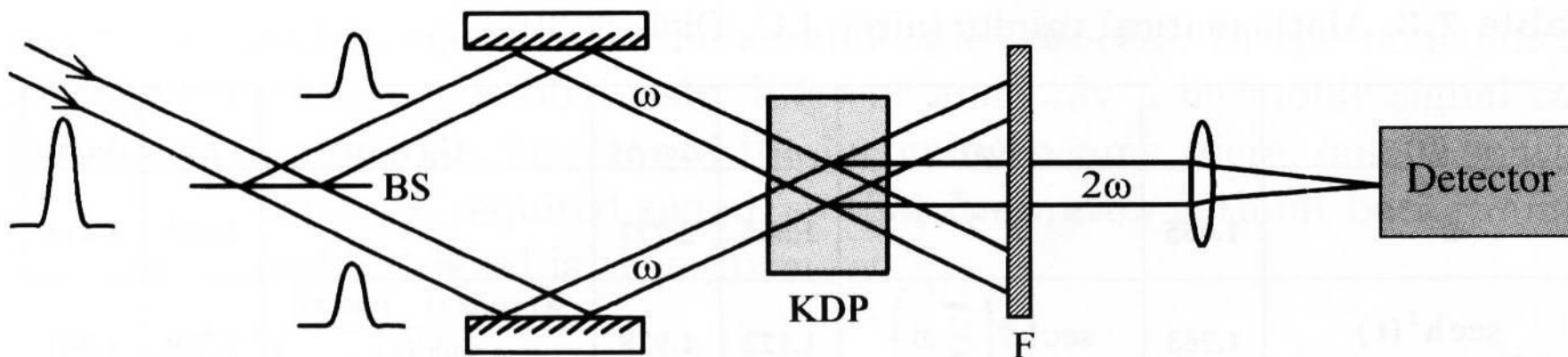


$I(t)$	$\Delta t$	$I(\omega)$	$\Delta \omega$	$\Delta \omega \cdot \Delta t$	$G_2(\tau)$	$\Delta \tau$	$\Delta \tau / \Delta t$
$e^{-t^2}$	1.665	$e^{-\omega^2}$	1.665	2.772	$e^{-\frac{\tau^2}{2}}$	2.355	1.414
$\text{sech}^2(t)$	1.763	$\text{sech}^2\left(\frac{\pi}{2}\omega\right)$	1.122	1.978	$\frac{3[\tau \cosh(\tau) - \sinh(\tau)]}{\sinh^3(\tau)}$	2.720	1.543
$\frac{1}{e^{t/(t-A)} + e^{-t/(t-A)}}$ <p><math>A=1/4</math></p>						2.648	1.544
$A=1/2$	1.565	$\text{sech}\left(\frac{3\pi}{4}\omega\right)$	1.118	1.749	$\frac{3\sinh(\frac{8}{3}\tau) - 8\tau}{4\sinh^3(\frac{4}{3}\tau)}$	2.424	1.549
$A=3/4$	1.278	$\frac{1 - 1/\sqrt{2}}{\cosh(\frac{7\pi}{16}\omega) - 1/\sqrt{2}}$	1.088	1.391	$\frac{2\cosh(\frac{16}{7}\tau) + 3}{5\cosh^3(\frac{8}{7}\tau)}$	2.007	1.570

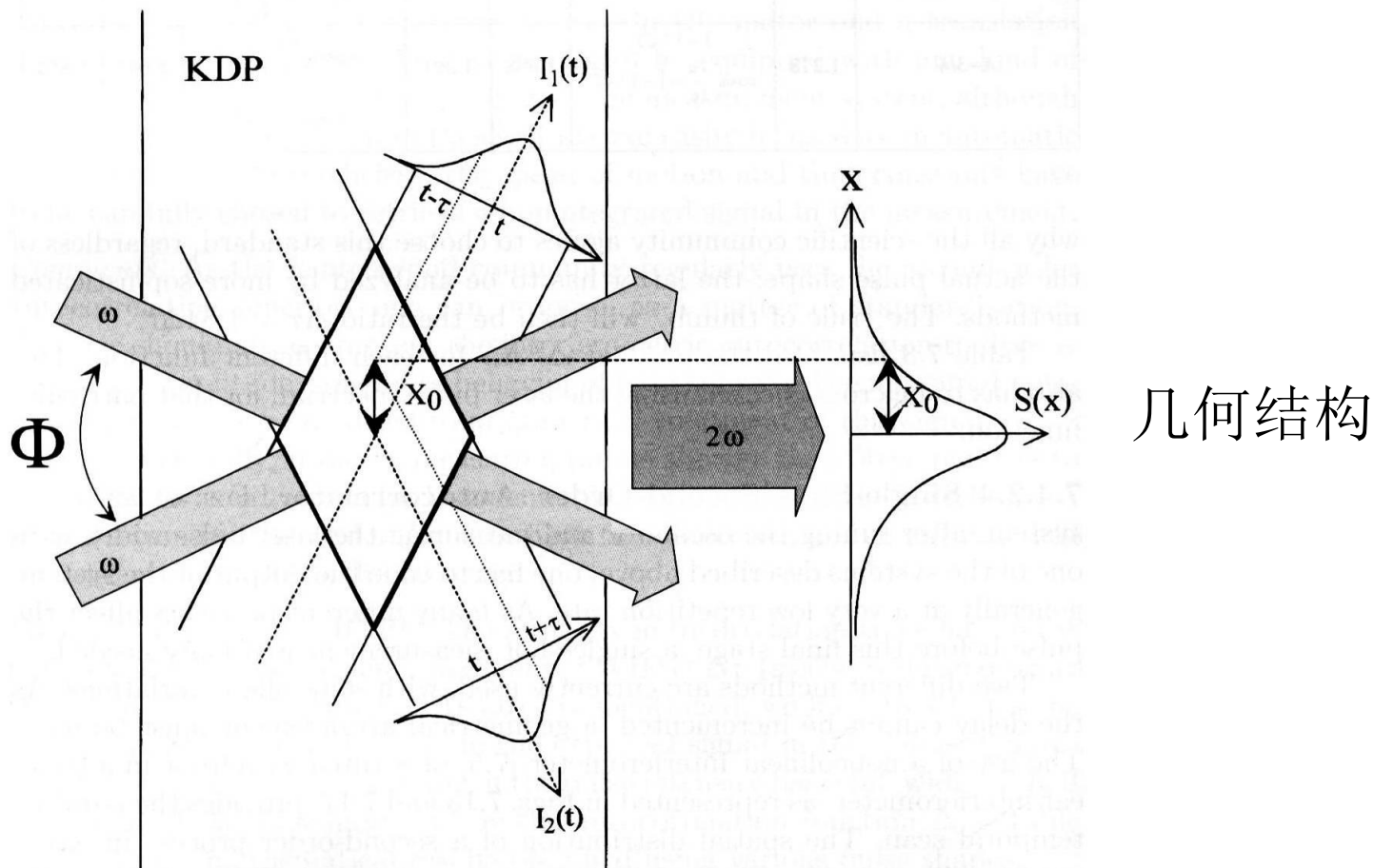
$$\Delta \tau = 1.54 \Delta t$$



# 单脉冲二阶自相关



单脉冲非共线干涉自相关仪的原理



偏离中心 $x_0$ 处的光脉冲时间波形为 $I_1(t-\tau)$ 和 $I_2(t+\tau)$   
 倍频光正比于 $I_1(t-\tau)I_2(t+\tau)$

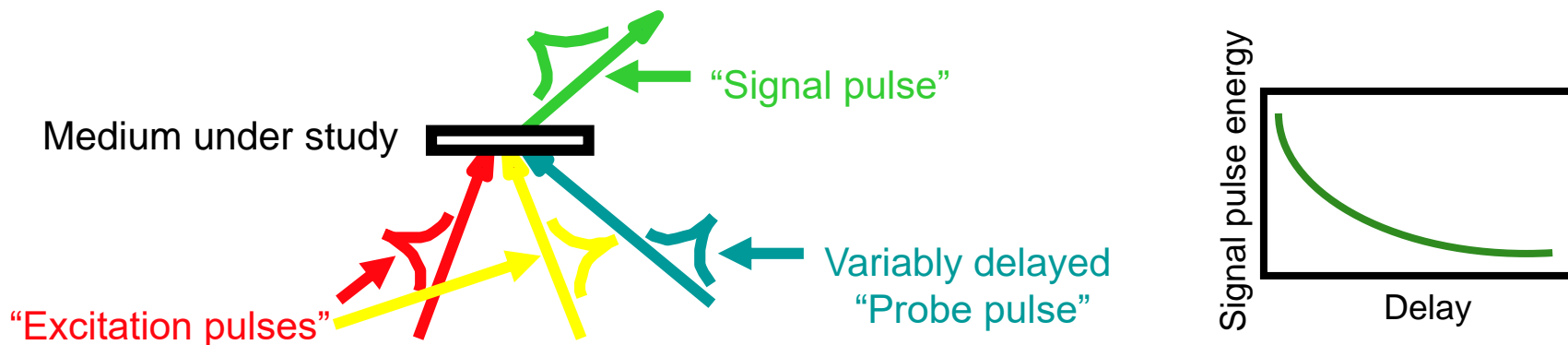
$$\text{延时: } \tau = \frac{nx_0 \sin(\Phi / 2)}{c}$$

## 12.2 飞秒分辨光谱技术

### 12.2.1 泵浦—探测方法

### 12.2.2 时间分辨发射谱：光学方法

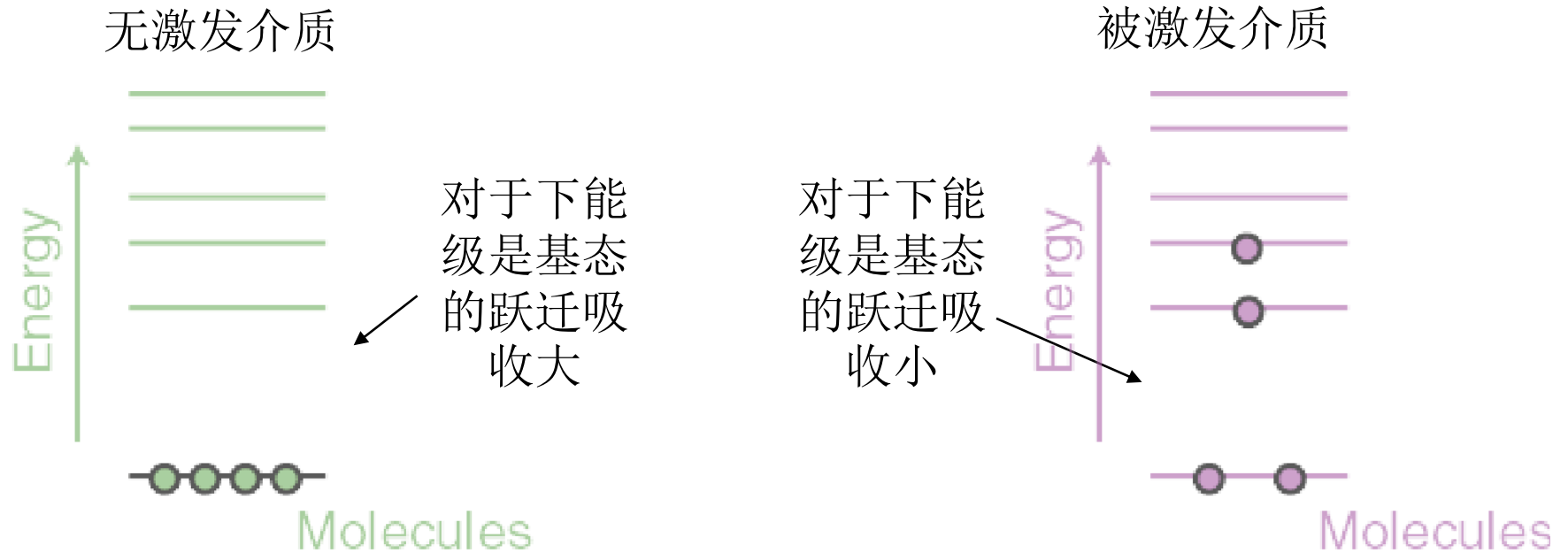
### 12.2.3 瞬态光栅技术



给出光信号随延时的变化关系，时间分辨率为脉冲宽度

# 时间分辨光谱

激发脉冲将分子激发到激发态，改变吸收、折射率和布居数。



经一段时间，系统恢复原状(设弛豫为单指数)

吸收:  $\alpha(t) = \alpha_0 [1 - \exp(-t/\tau)]$  for  $t > 0$  (时间分辨率: 脉冲宽度)

荧光:  $I(t) = I_0 \exp(-t/\tau)$  for  $t > 0$

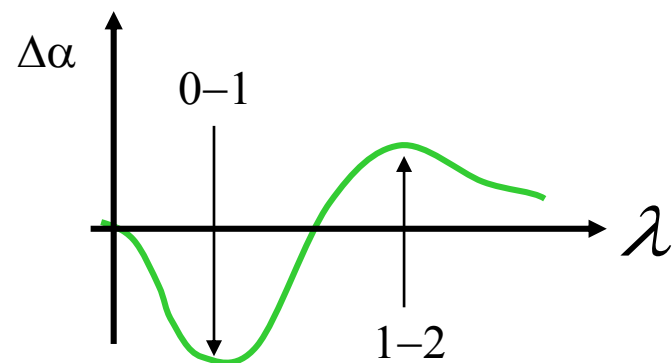
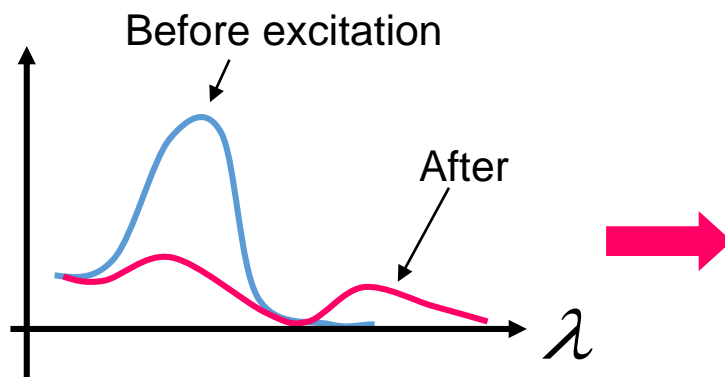
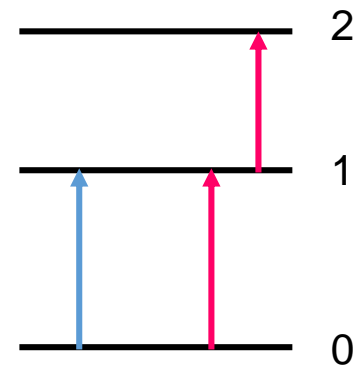
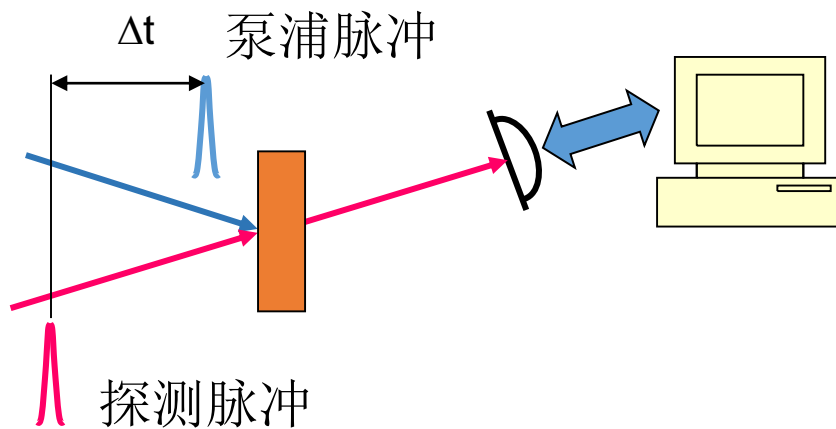
## 12.2.1 泵浦—探测方法

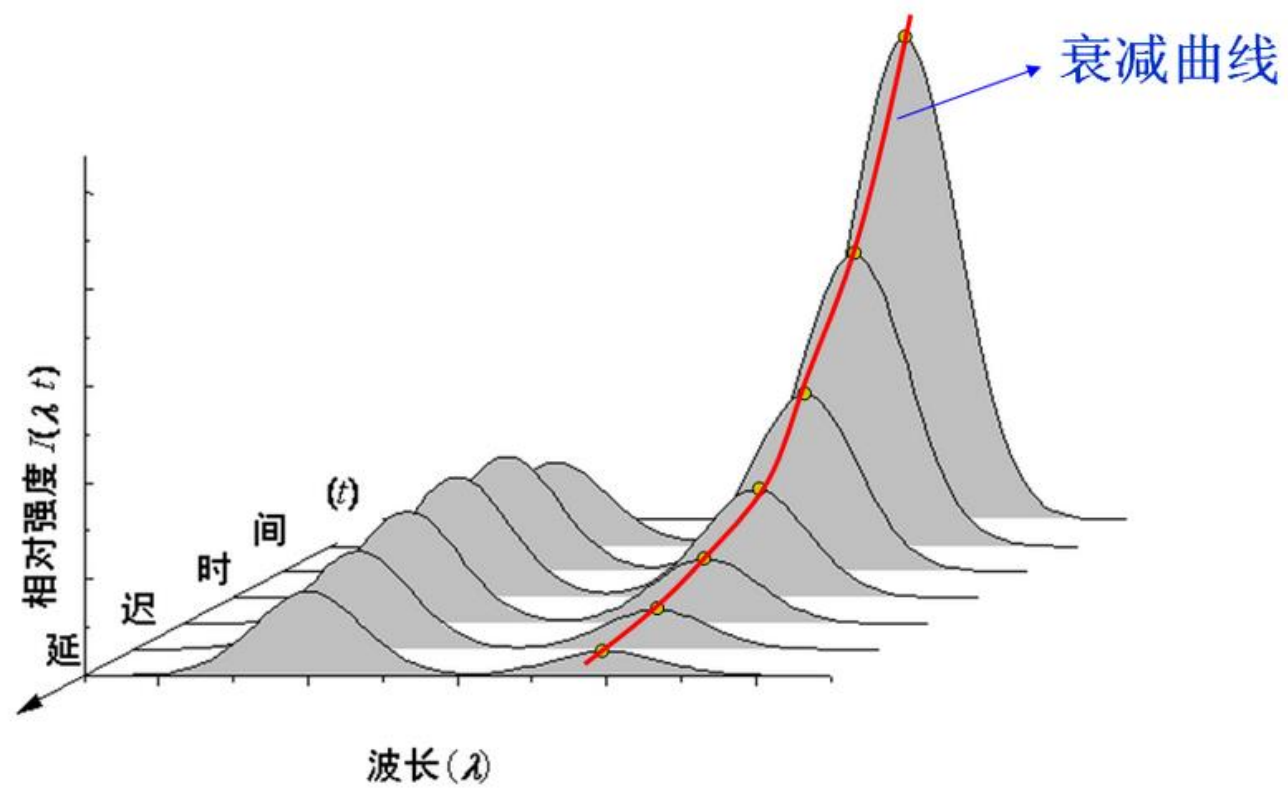
两种方法分析泵浦光对样品的作用引起的改变：

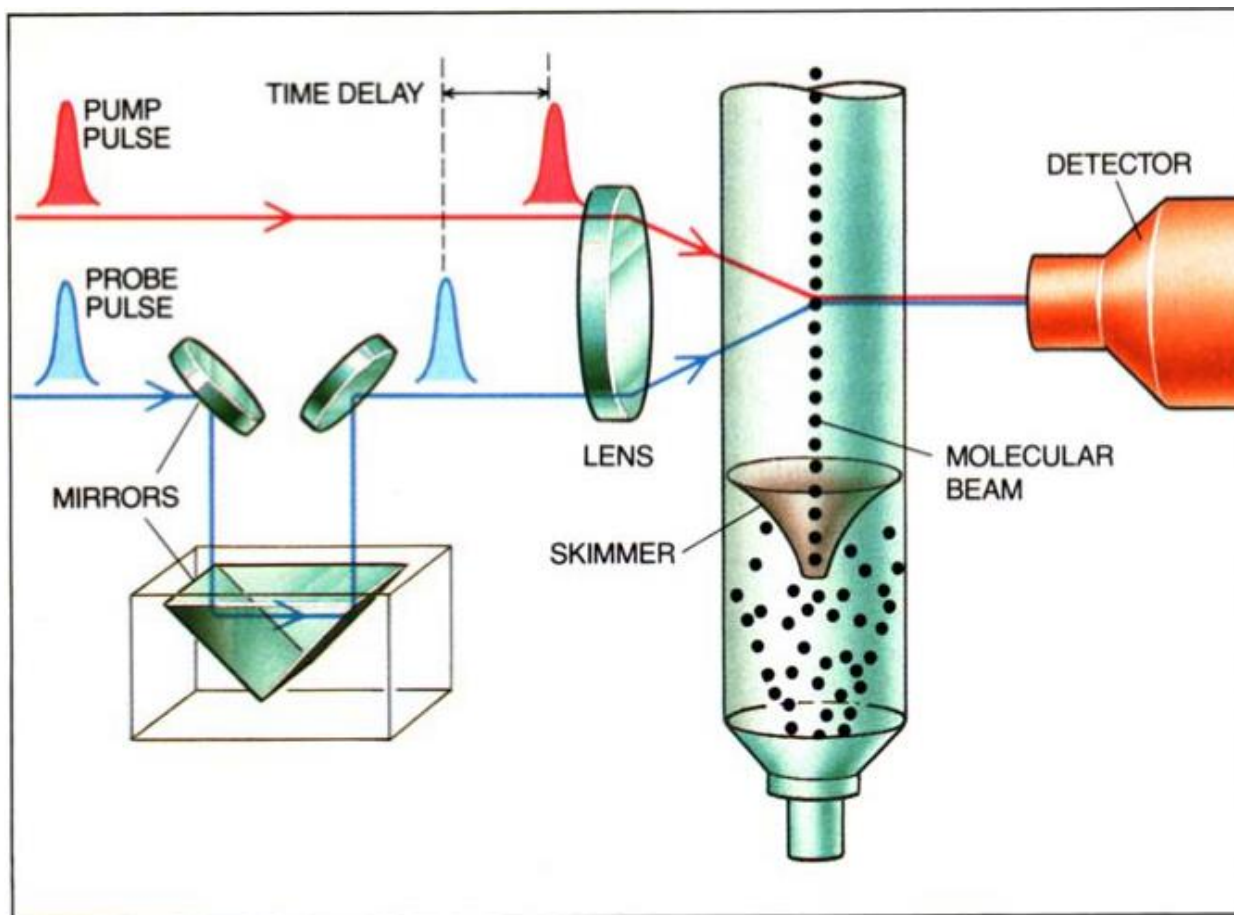
- (1)比较泵浦光作用前后探测光的改变（密度、相位和波矢），叫做时间分辨吸收技术；
- (2)观察泵浦光作用前后探测光本身引起的新的效应，如喇曼散射光谱、光荧光谱和相干反斯托克斯喇曼谱等。

**泵浦—探测技术**：通过测量泵浦光照射前和照射后探测光的变化，给出吸收随时间的变化，以此来构造布居动力学。

# 泵浦-探测实验



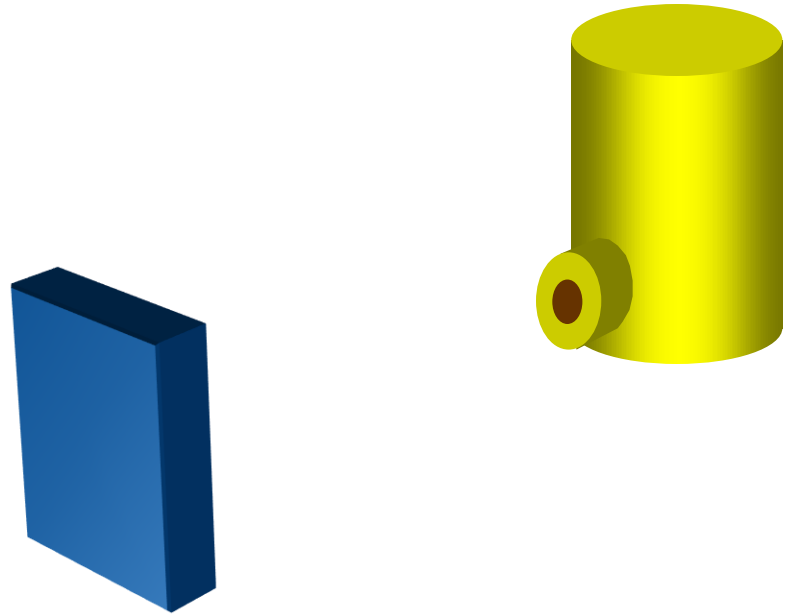




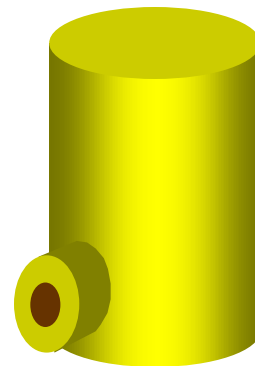
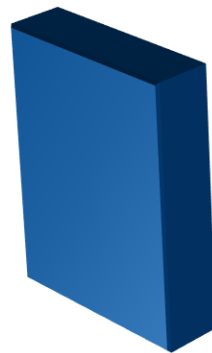
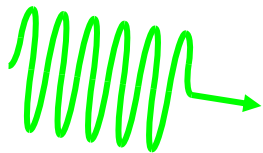
泵浦—探测实验示意图



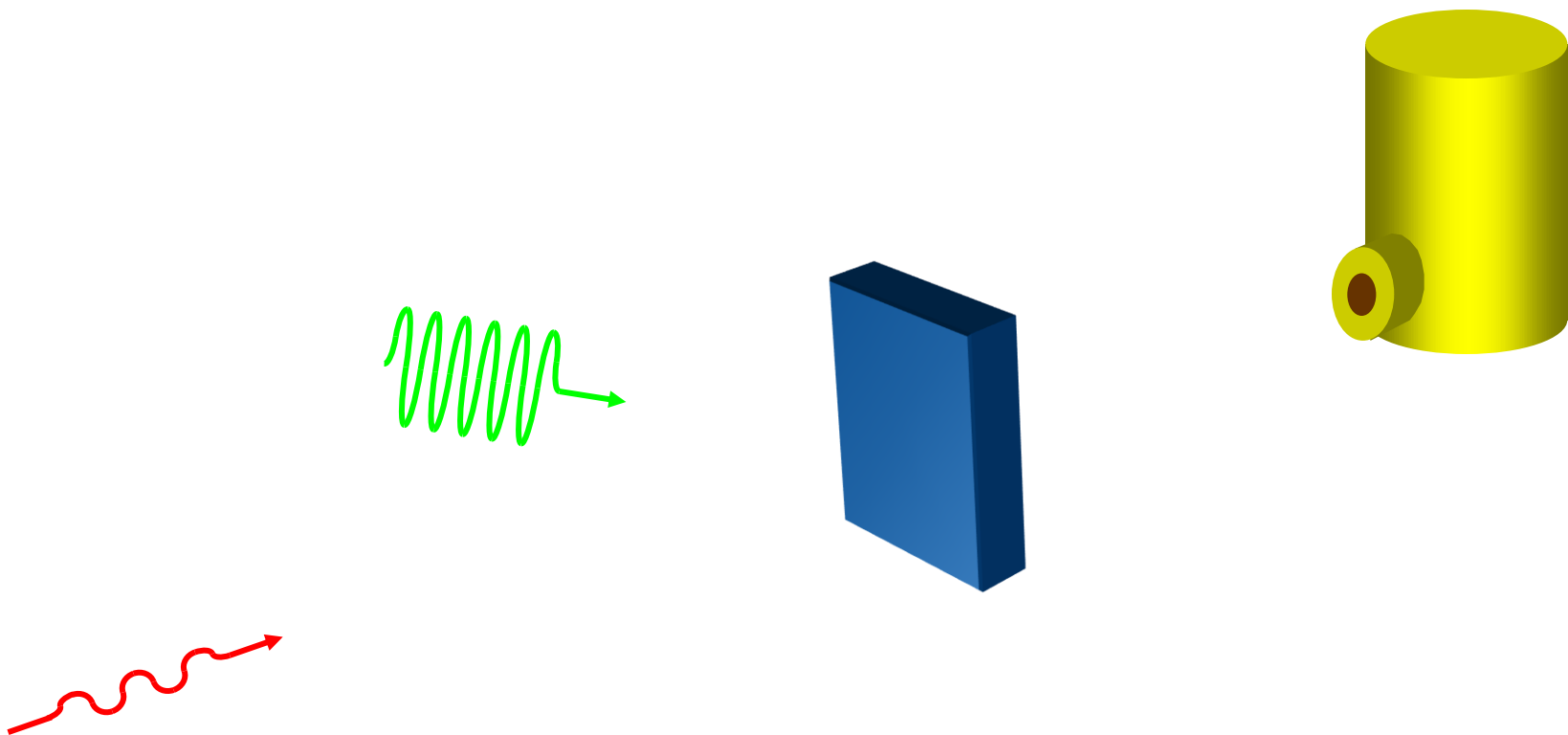
# Pump-probe Spectroscopy



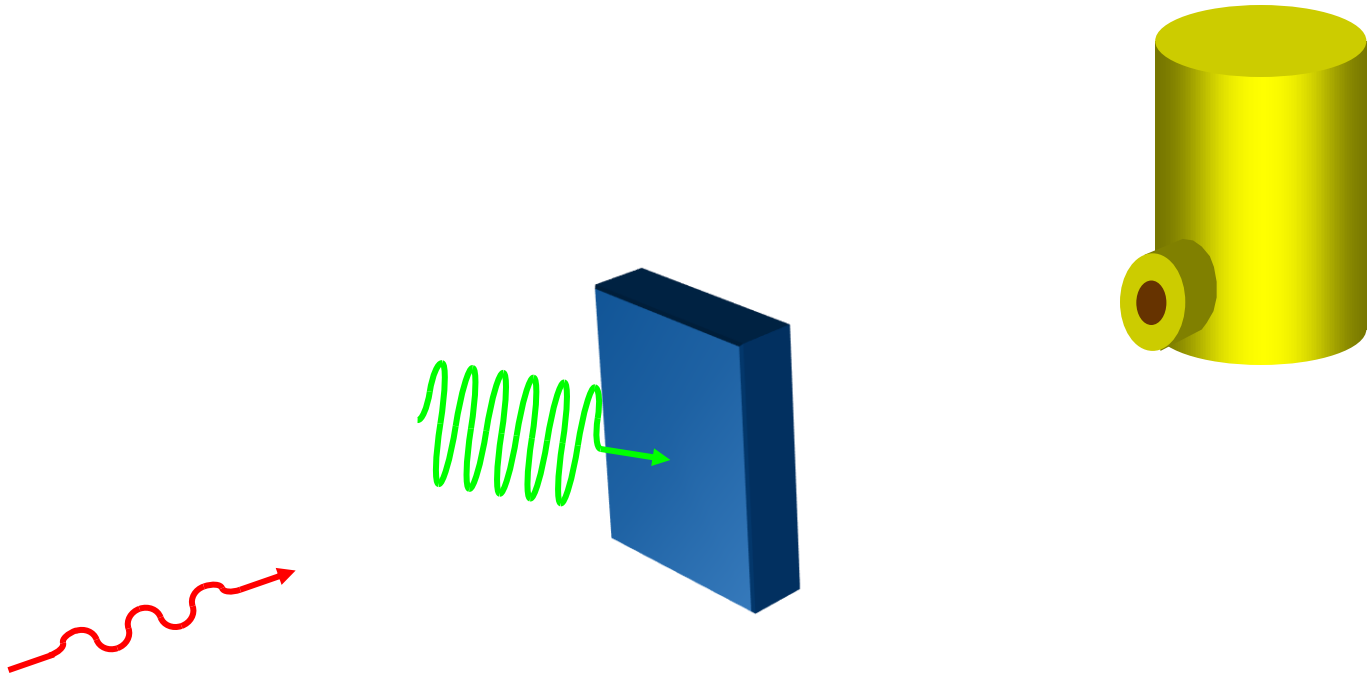
# Pump-probe Spectroscopy



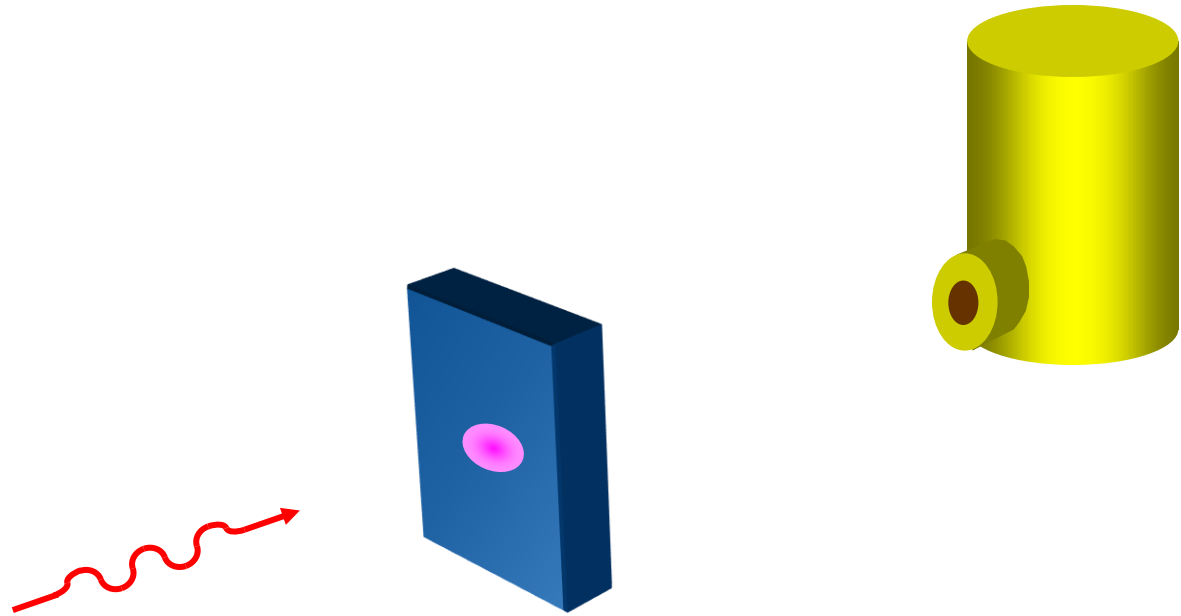
# Pump-probe Spectroscopy



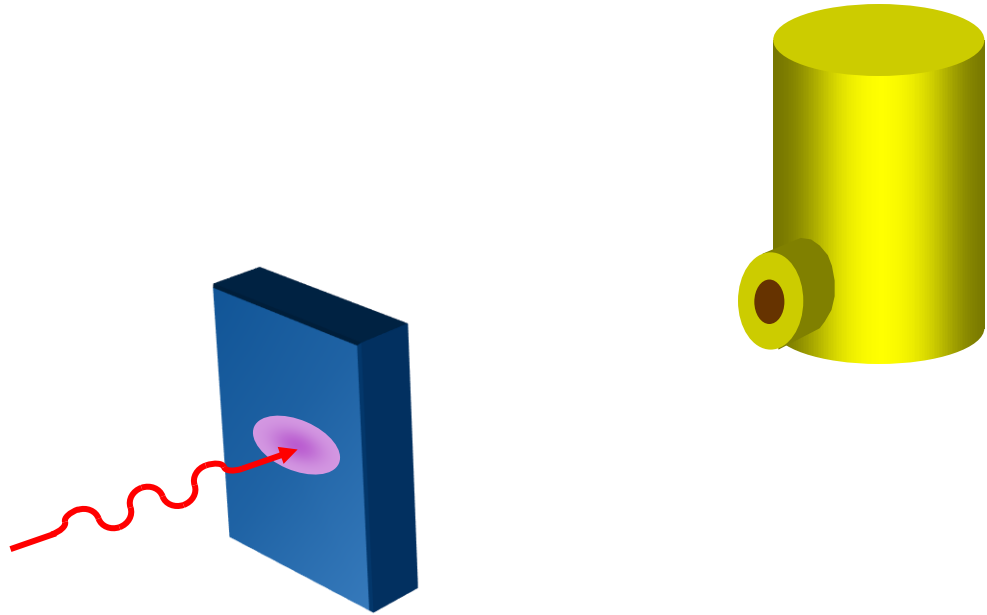
# Pump-probe Spectroscopy



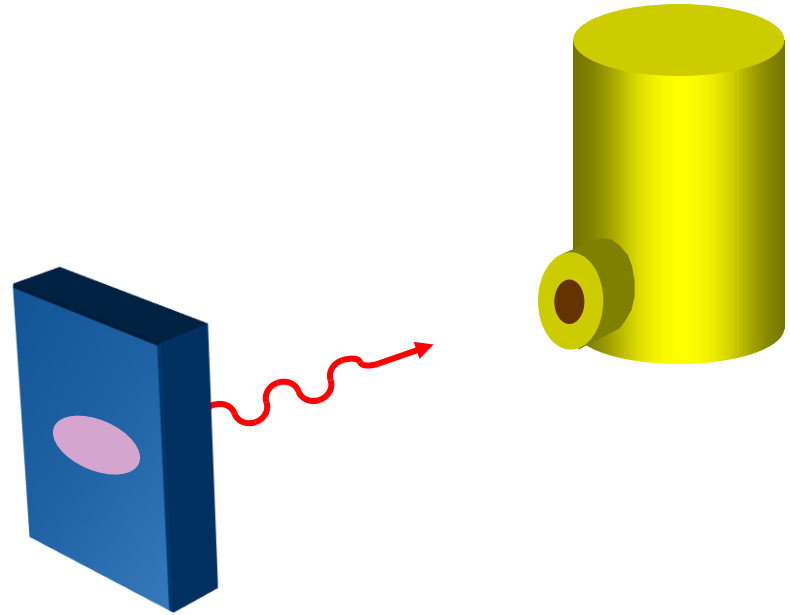
# Pump-probe Spectroscopy



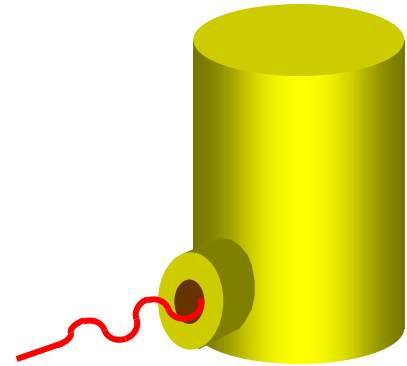
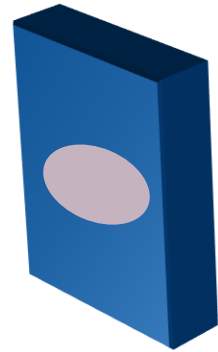
# Pump-probe Spectroscopy



# Pump-probe Spectroscopy

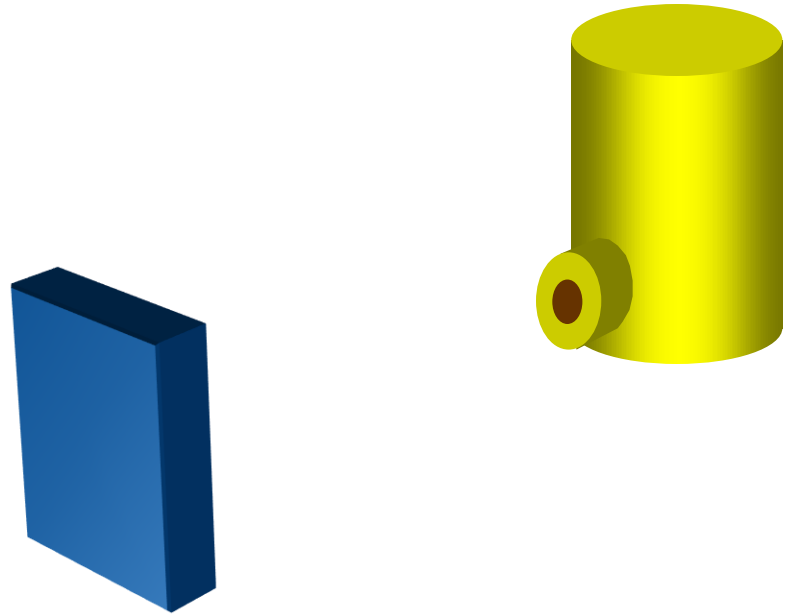


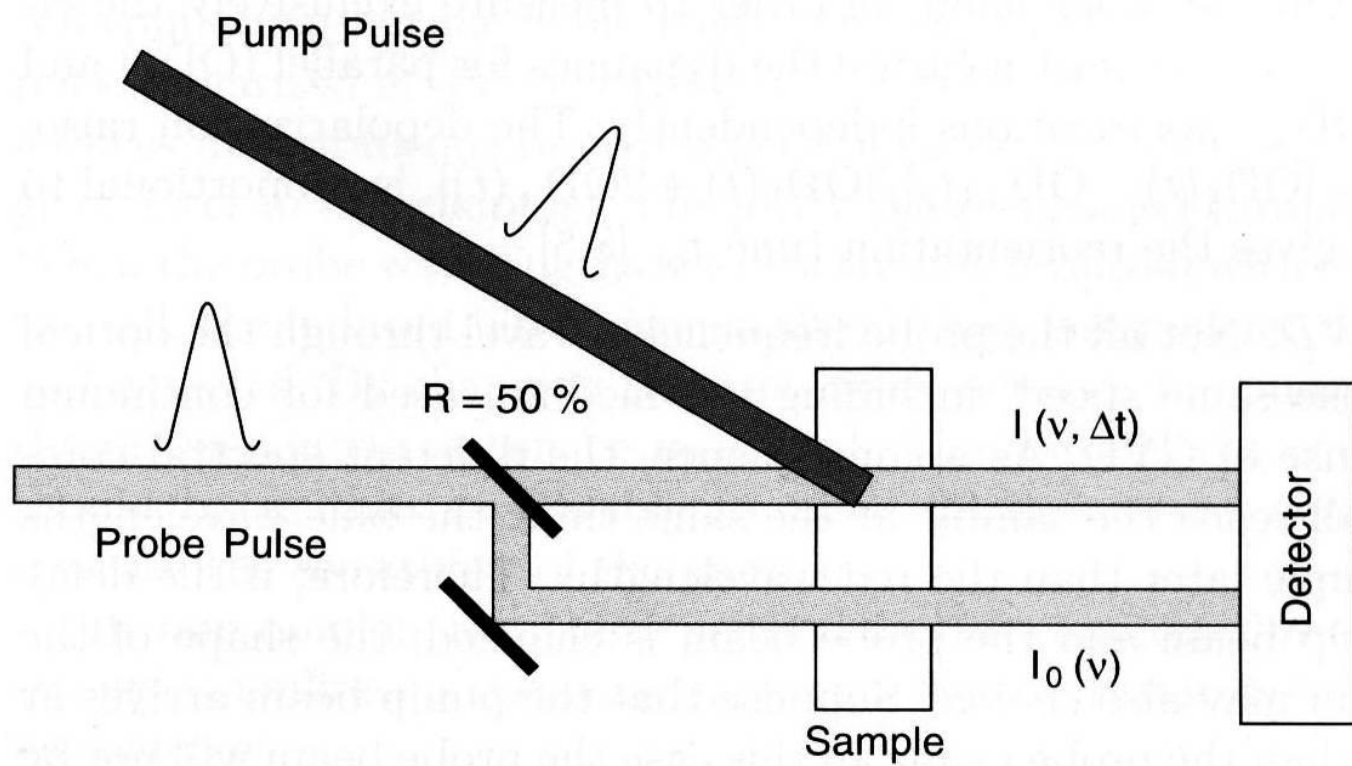
# Pump-probe Spectroscopy





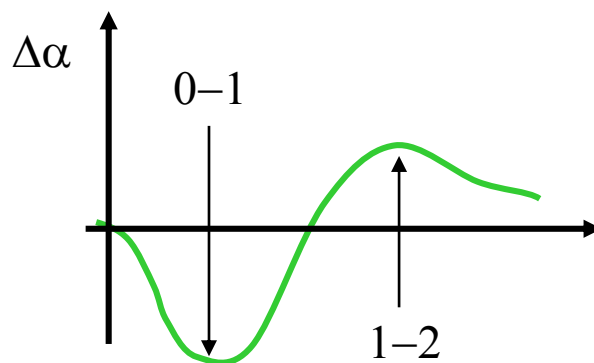
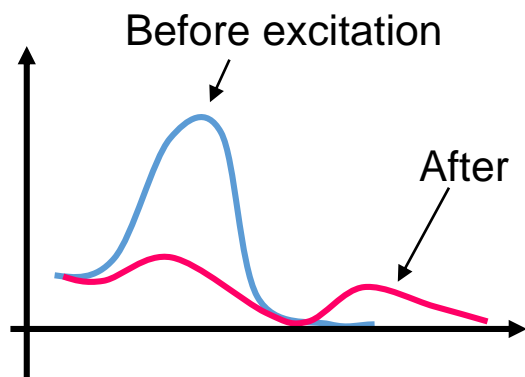
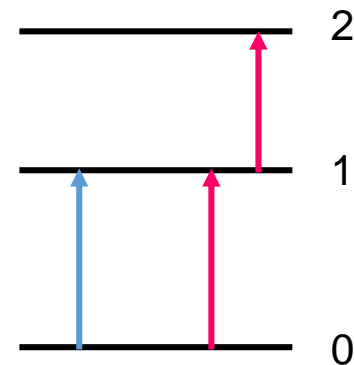
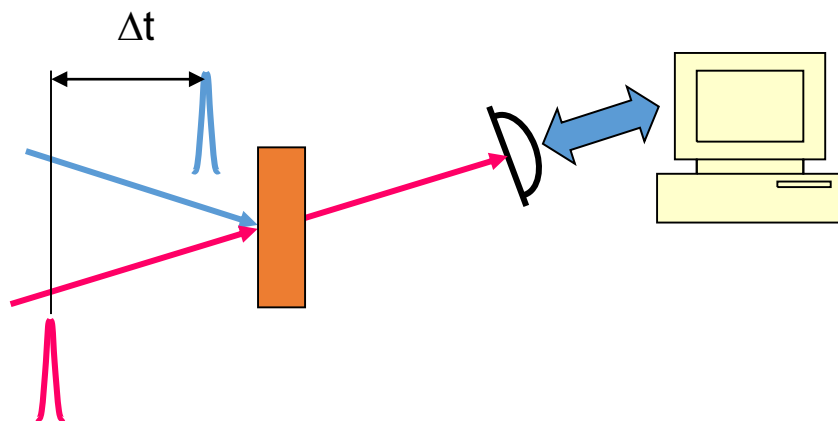
# Pump-probe Spectroscopy





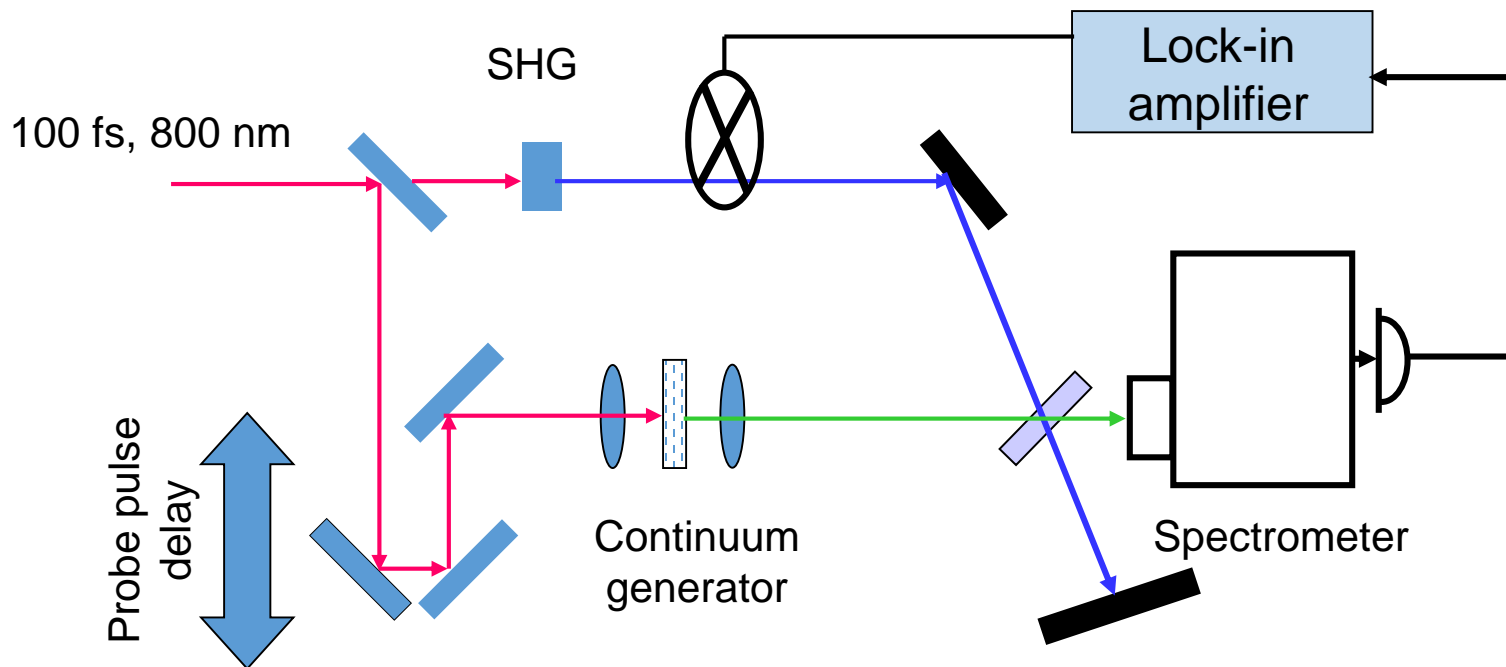
双束泵浦—探测实验

# 泵浦-探测实验

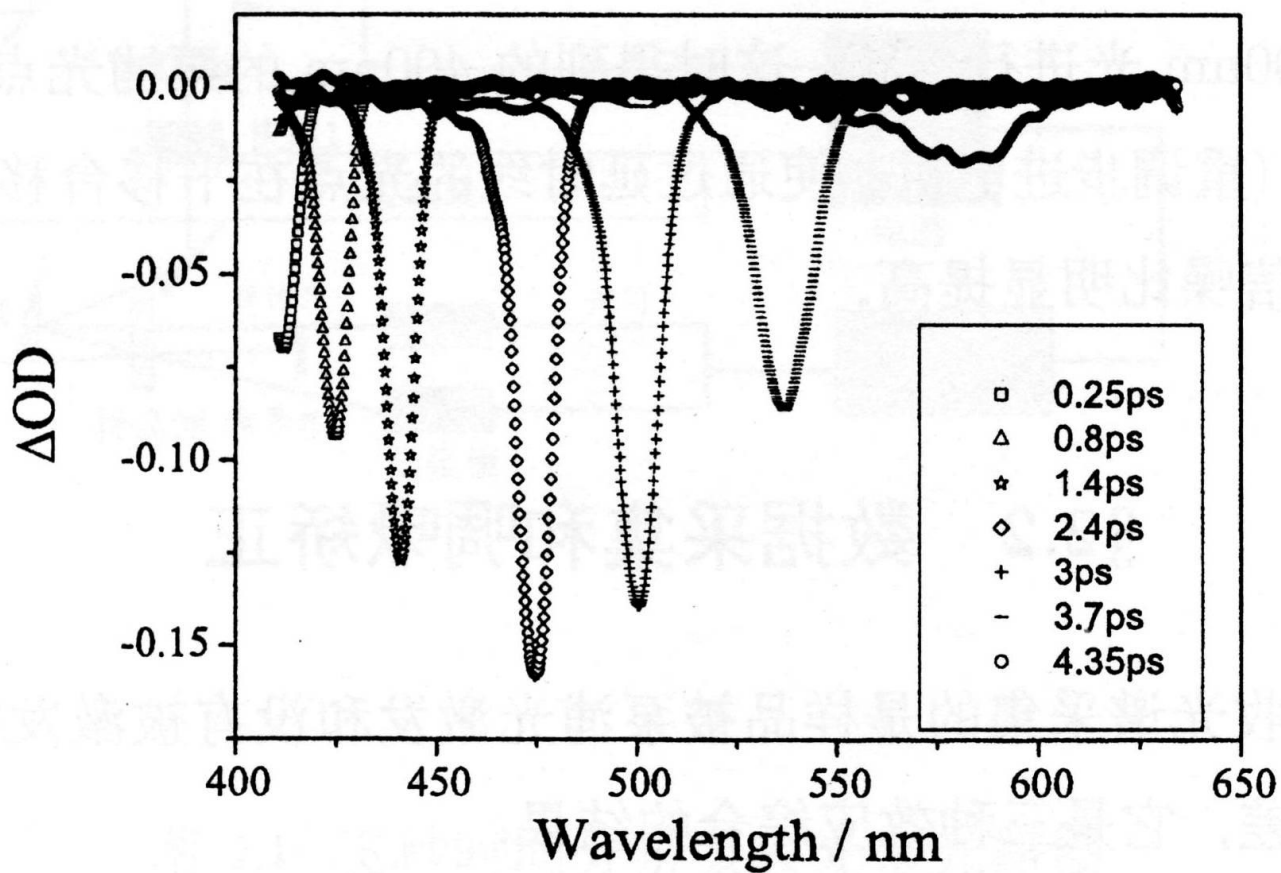


扫描一次延时线只能测量一个探测波长

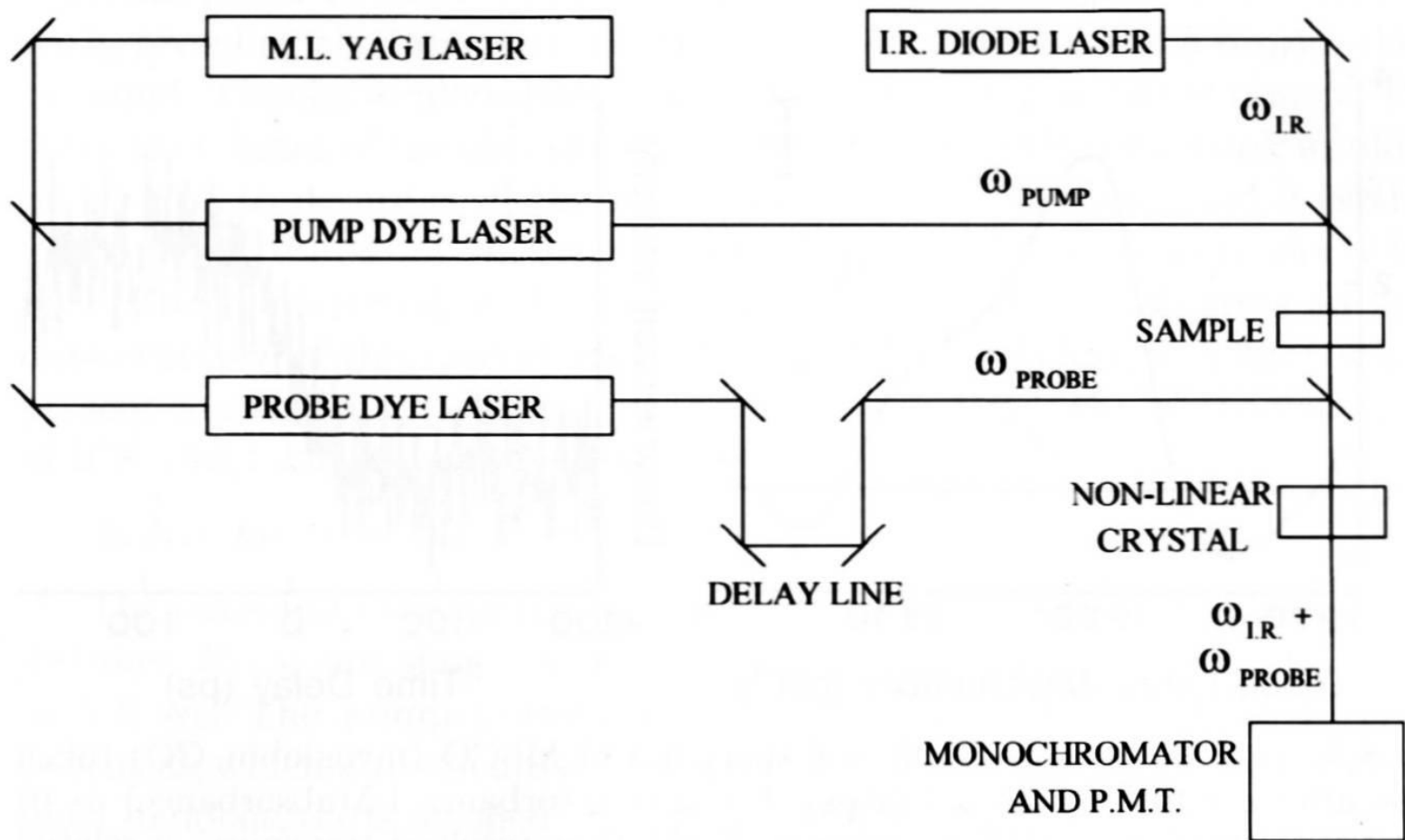
# 利用超连续光的泵浦—探测技术



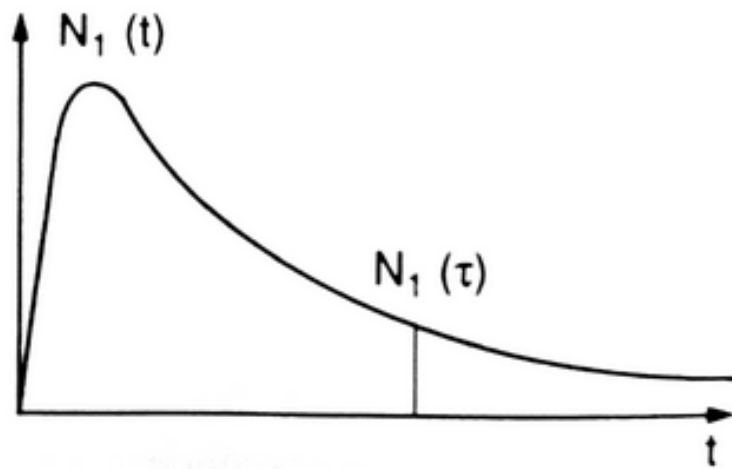
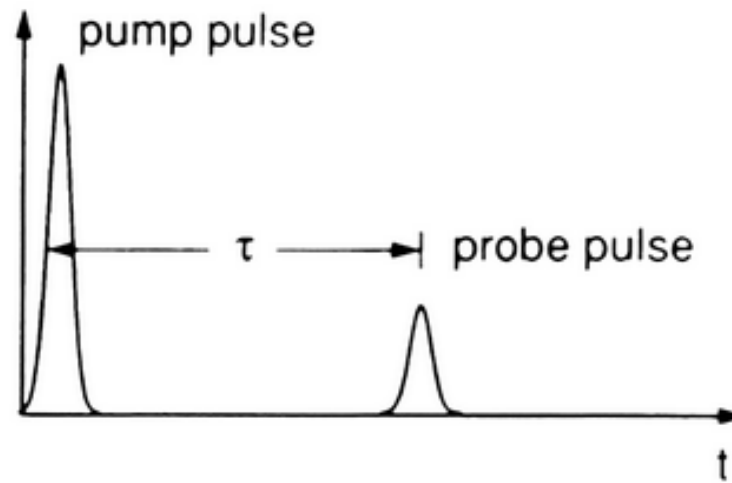
利用超连续光的产生可以覆盖整个可见光和近红外波段



不同时间延时克尔门所采到的一系列光谱

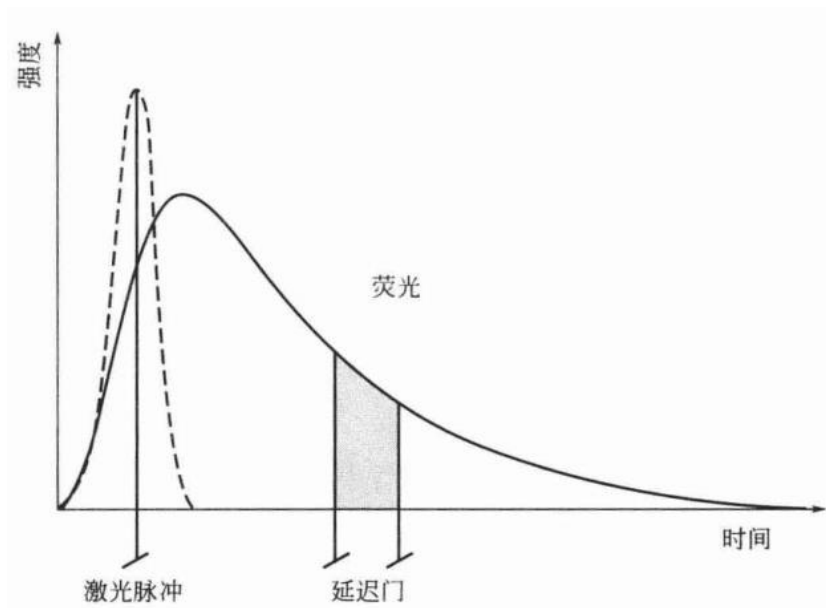


时间分辨红外谱的实验装置

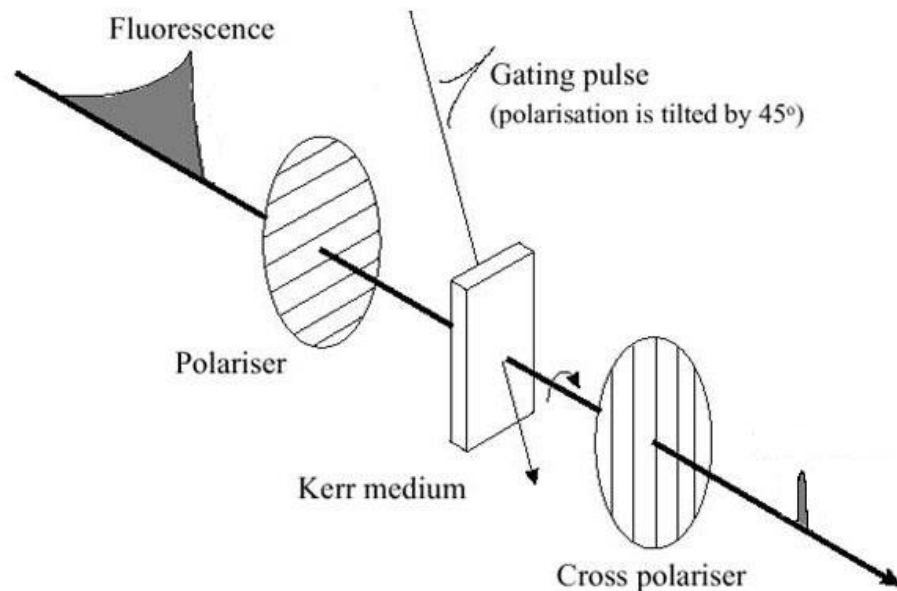


## 2. 时间分辨发射谱

### (1) 克尔开关

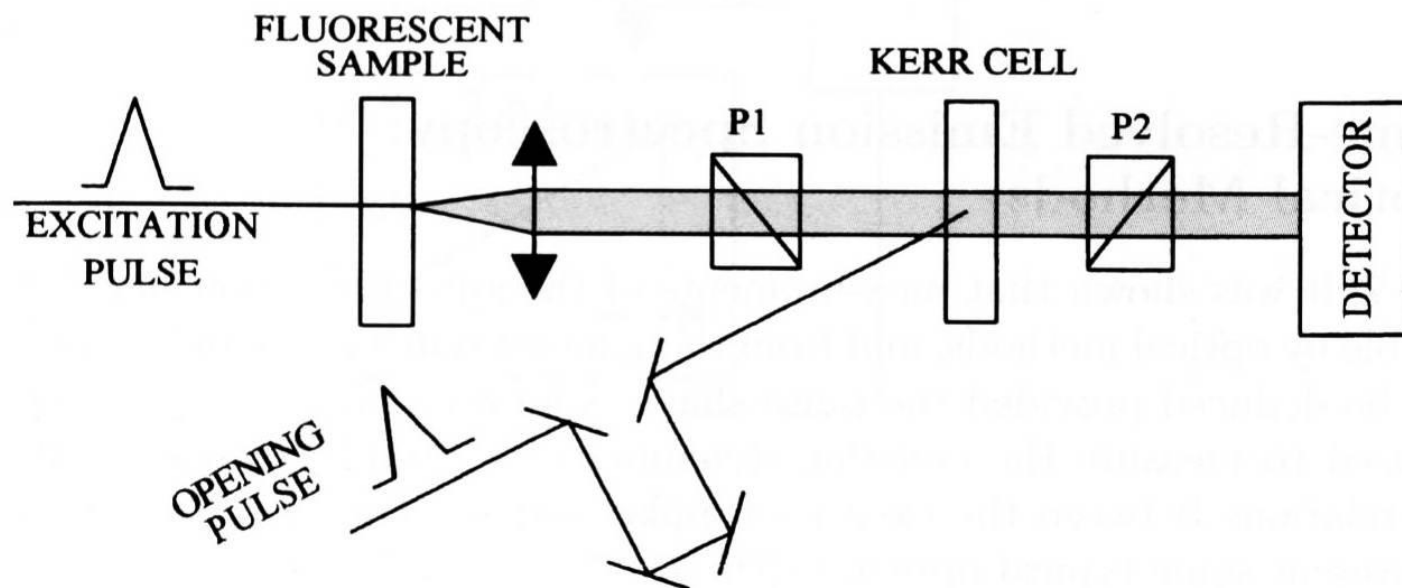


超快荧光测量示意图



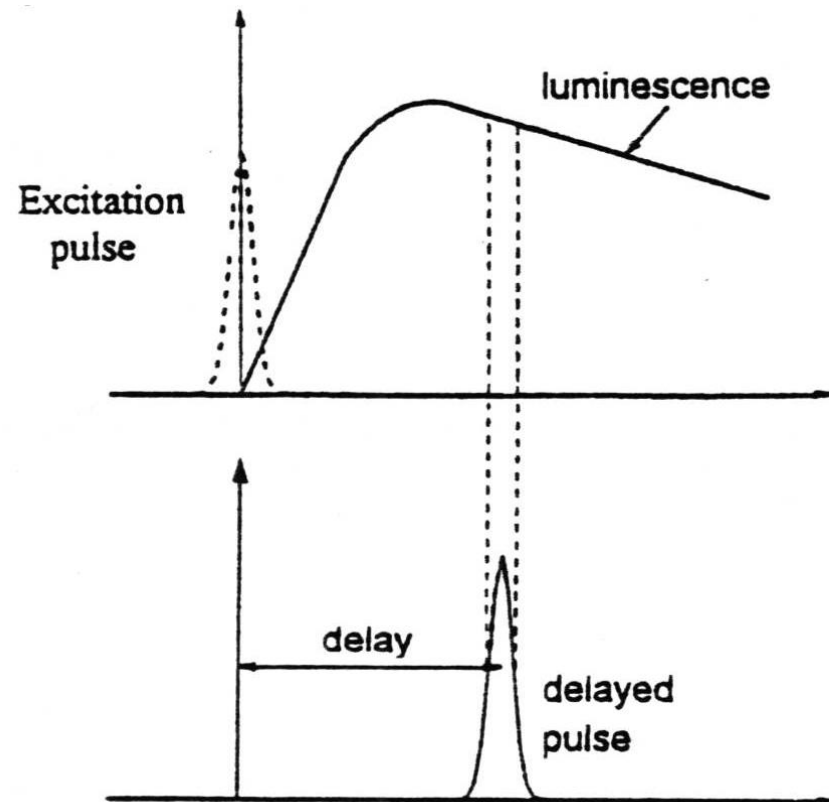
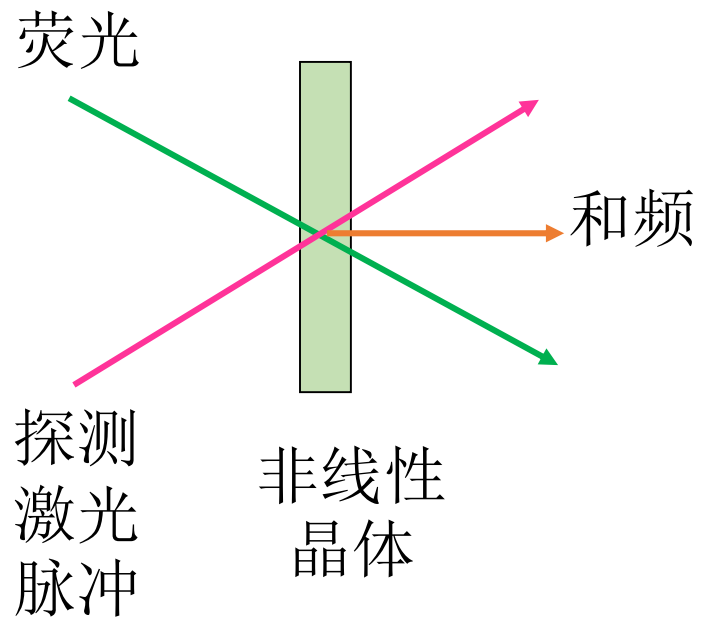
克尔开关示意图

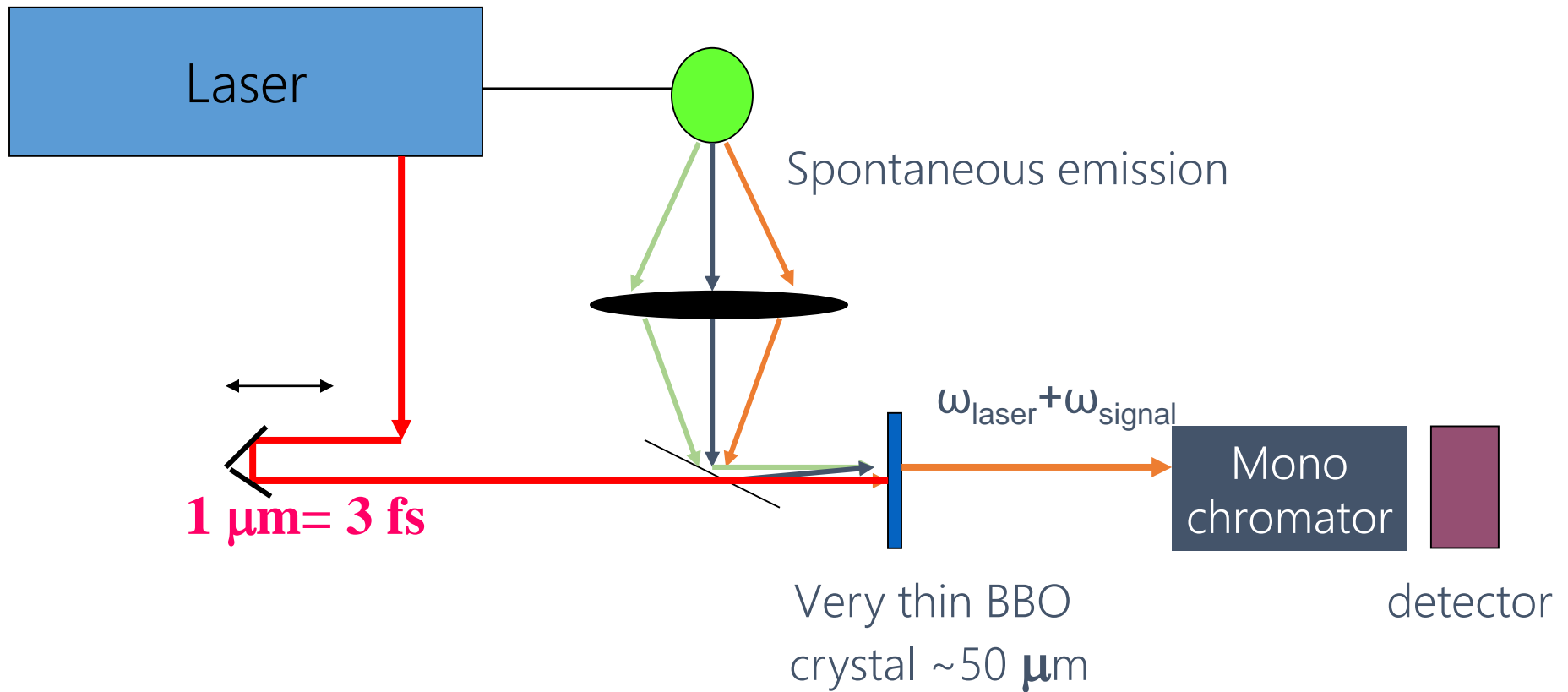




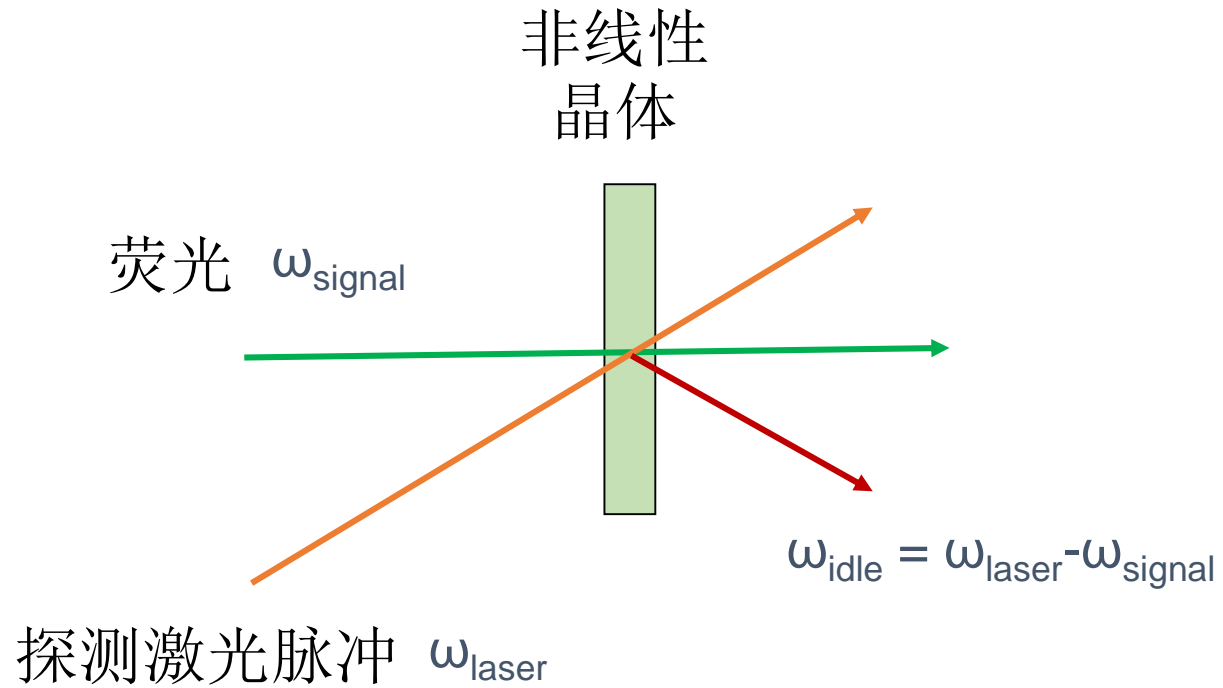
利用光克尔门的时间分辨发射技术

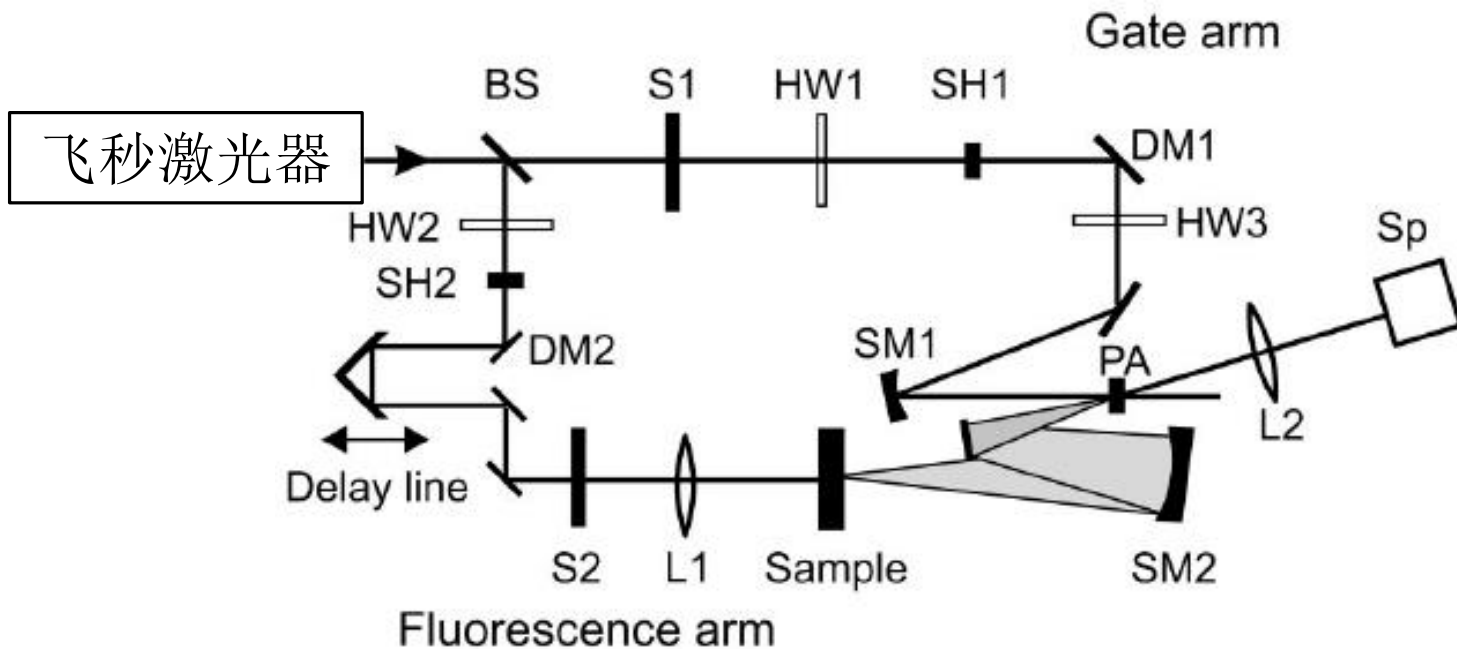
## (2) 荧光上转换





### 三. 时间分辨荧光参量放大技术





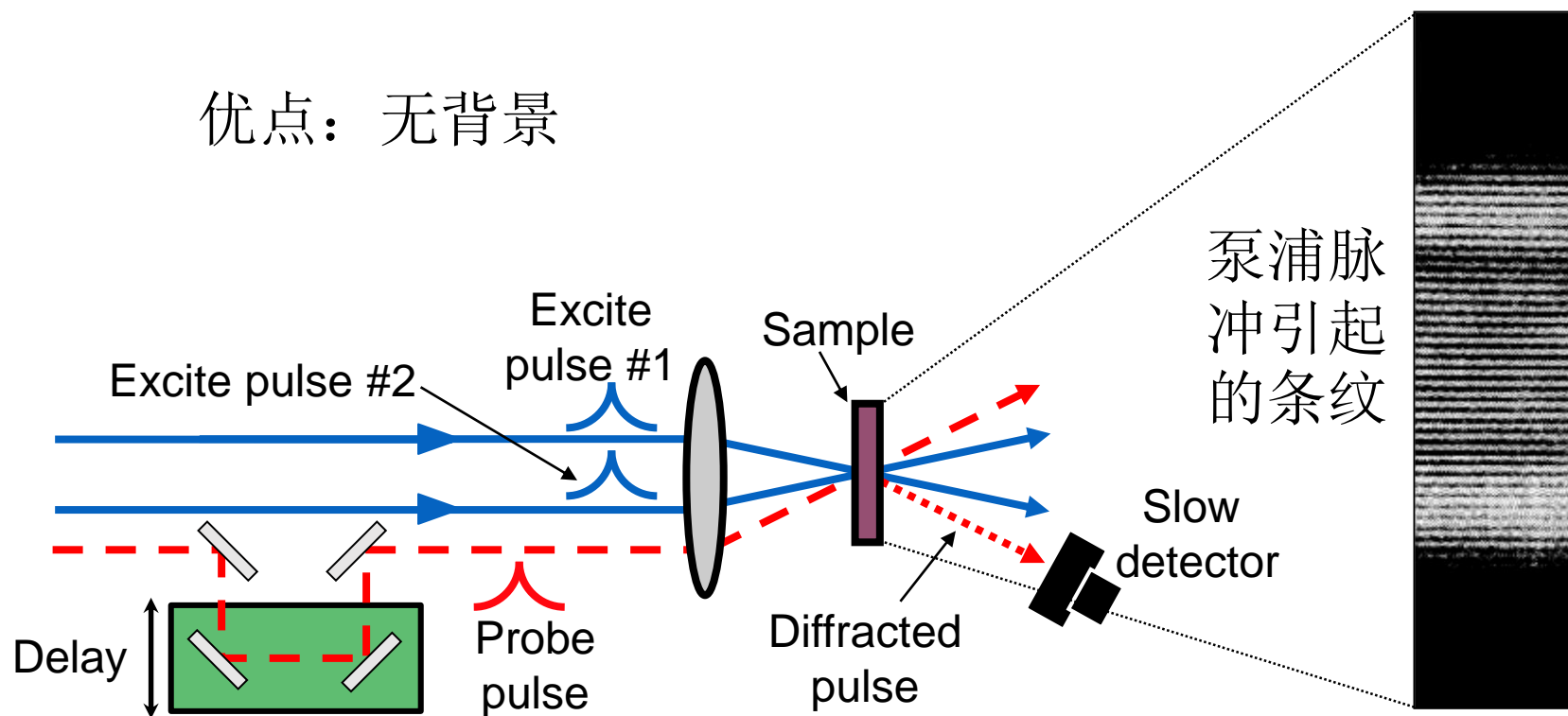
SH1, SH2, PA: 0.5 mm厚BBO晶体

注意事项: 1. 波长选择, 2. 匹配光谱范围

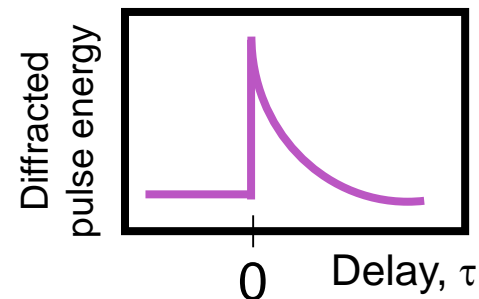
Appl. Phys. Lett. 86, 021909 (2005)

## 12.2.3 瞬态光栅技术

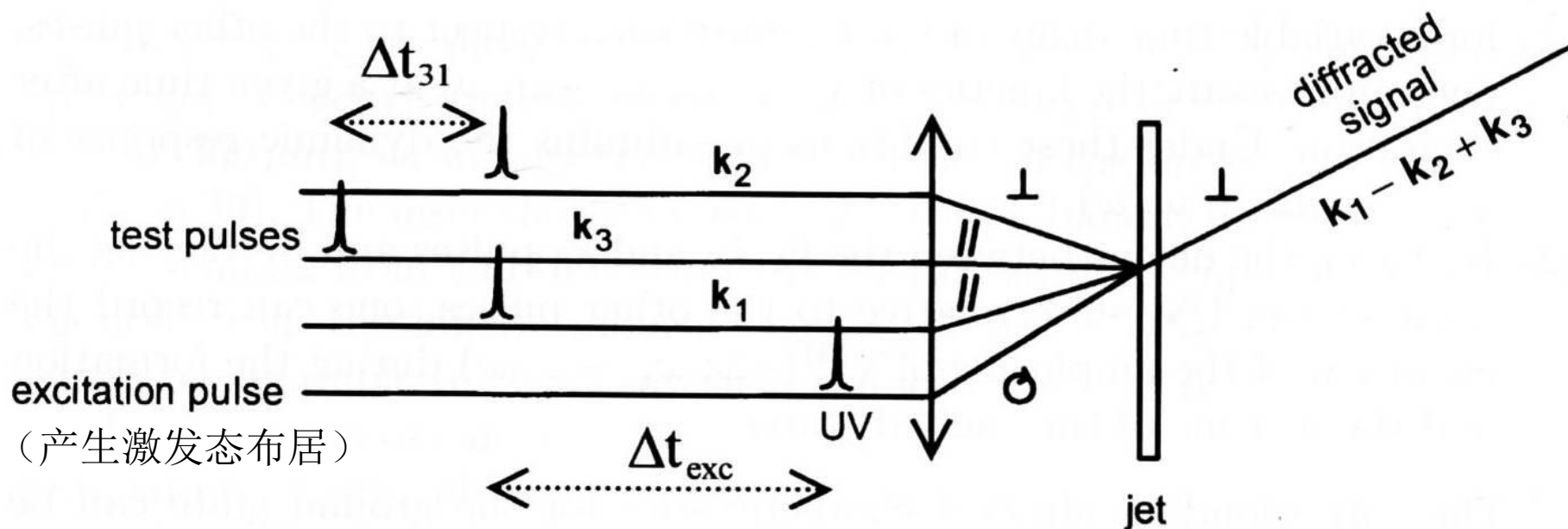
优点：无背景



泵浦脉冲强度在样品内为正  
弦分布，引起折射率栅。



# 研究激发态动力学的瞬态栅技术



简并四波混频实验示意图